

Réseaux de neurones
IFT 780

Réseaux de neurones multicouches
Par
Pierre-Marc Jodoin

1

Séparation linéaire

(2D et 2 classes)

biais

poids

$$y_{\vec{w}}(\vec{x}) = w_0 + w_1x_1 + w_2x_2$$

$$= w_0 + \vec{w}^T \vec{x}$$

$$= \vec{w}'^T \vec{x}'$$

$y_{\vec{w}}(\vec{x}) = \vec{w}^T \vec{x}$

Par simplicité

2 grands **avantages**. Une fois l'entraînement terminé,

1. Plus besoin de données d'entraînement
2. Classification est très rapide (**produit scalaire** entre 2 vecteurs)

2

Perceptron

(2D et 2 classes)

Neurone

Produit scalaire + fonction d'activation

Fonction de coût perceptron (loss)
et gradient

$$E_D(\vec{w}) = \frac{1}{N} \sum_{\vec{x}_n \in M} -t_n \vec{w}^T \vec{x}$$

où M est l'ensemble des données mal classées

$$\nabla E_D(\vec{w}) = \frac{1}{N} \sum_{\vec{x}_n \in M} -t_n \vec{x}_n$$

3

Hinge Loss

(2D et 2 classes)

Neurone

Produit scalaire + fonction d'activation

Fonction de coût SVM (hinge loss) et gradient

$$E_D(\vec{w}) = \frac{1}{N} \sum_{n=1}^N \max(0, 1 - t_n \vec{w}^T \vec{x})$$

$$\nabla E_D(\vec{w}) = \frac{1}{N} \sum_{\vec{x}_n \in \mathcal{M}} -t_n \vec{x}_n$$

4

Régression logistique

(2D, 2 classes)

Nouvelle fonction d'activation : **sigmoïde logistique**

Neurone

Fonction de coût (loss) et gradient

$$E_D(\vec{w}) = -\frac{1}{N} \sum_{n=1}^N [t_n \ln(y_w(\vec{x}_n)) + (1 - t_n) \ln(1 - y_w(\vec{x}_n))]$$

$$\nabla E_D(\vec{w}) = \frac{1}{N} \sum_{n=1}^N (y_w(\vec{x}_n) - t_n) \vec{x}_n$$

5

Perceptron Multiclasse

(2D et 3 classes)

Perceptron

$y_w(\vec{x}) = \arg \max_i y_{w_i}(\vec{x})$

$y_w(\vec{x}) = W^T \vec{x}$

$$y_w(\vec{x}) = \begin{bmatrix} w_{0,0} & w_{0,1} & w_{0,2} \\ w_{1,0} & w_{1,1} & w_{1,2} \\ w_{2,0} & w_{2,1} & w_{2,2} \end{bmatrix} \begin{bmatrix} 1 \\ x_1 \\ x_2 \end{bmatrix}$$

6

Perceptron Multiclasse

Exemple

★ (1.1, -2.0)

$$y_W(\vec{x}) = \begin{bmatrix} -2 & -3.6 & 0.5 \\ -4 & 2.4 & 4.1 \\ -6 & 4 & -4.9 \end{bmatrix} \begin{bmatrix} 1 \\ 1.1 \\ -2 \end{bmatrix} = \begin{bmatrix} -6.9 \\ -9.6 \\ 8.2 \end{bmatrix} \begin{matrix} \text{Classe 0} \\ \text{Classe 1} \\ \text{Classe 2} \end{matrix}$$

7

Perceptron Multiclasse

Fonction de coût (*Perceptron loss – One-VS-One*)

$$E_D(W) = \frac{1}{N} \sum_{\vec{x}_n \in M} (\bar{W}_j^T \vec{x}_n - \bar{W}_{t_n}^T \vec{x}_n)$$

Somme sur l'ensemble des données mal classées

Score de la classe faussement prédite par le modèle

Score de la bonne classe

8

Perceptron Multiclasse

Fonction de coût (*Perceptron loss – One-VS-One*)

$$E_D(W) = \frac{1}{N} \sum_{\vec{x}_n \in M} \underbrace{(\bar{W}_j^T \vec{x}_n - \bar{W}_{t_n}^T \vec{x}_n)}_{E_{\vec{x}_n}}$$

$$\begin{aligned} \nabla_{W_j} E_{\vec{x}_n} &= \vec{x}_n \\ \nabla_{W_{t_n}} E_{\vec{x}_n} &= -\vec{x}_n \\ \nabla_{W_i} E_{\vec{x}_n} &= 0 \quad \forall i \neq j \text{ et } t_n \end{aligned}$$

9

Perceptron Multiclasse one-vs-one

Descente de gradient stochastique (version naïve, batch_size = 1)

```
Initialiser W
k=0, i=0
DO k=k+1
  FOR n= 1 to N
    j = argmax Wj  $\vec{x}_n$ 
    IF j ≠ tn THEN /* donnée mal classée */
       $\vec{w}_j = \vec{w}_j - \eta \vec{x}_n$ 
       $\vec{w}_{t_n} = \vec{w}_{t_n} + \eta \vec{x}_n$ 
  UNTIL toutes les données sont bien classées.
```

10

Perceptron Multiclasse one-vs-one

Exemple d'entraînement ($\eta=1$)

$$\vec{x}_n = (0.4, -1), t_n = 1$$

$$y_W(\vec{x}) = \begin{bmatrix} -2 & 3.6 & 0.5 \\ -4 & 2.4 & 4.1 \\ -6 & 4 & -4.9 \end{bmatrix} \begin{bmatrix} 1 \\ 0.4 \\ -1 \end{bmatrix} = \begin{bmatrix} -1.6 \\ -7.1 \\ 0.5 \end{bmatrix} \begin{matrix} \text{Classe 0} \\ \text{Classe 1} \\ \text{Classe 2} \end{matrix}$$

FAUX!

11

Perceptron Multiclasse

Exemple d'entraînement ($\eta=1$)

$$\vec{x}_n = (0.4, -1.0), t_n = 0$$

$$\vec{w}_0 \leftarrow \vec{w}_0 + \vec{x}_n \quad \begin{bmatrix} -2.0 \\ 3.6 \\ 0.5 \end{bmatrix} + \begin{bmatrix} 1 \\ 0.4 \\ -1 \end{bmatrix} = \begin{bmatrix} -1.0 \\ 4.0 \\ -0.5 \end{bmatrix}$$

$$\vec{w}_2 \leftarrow \vec{w}_2 - \vec{x}_n \quad \begin{bmatrix} -6.0 \\ 4.0 \\ -4.9 \end{bmatrix} - \begin{bmatrix} 1 \\ 0.4 \\ -1 \end{bmatrix} = \begin{bmatrix} -7.0 \\ 3.6 \\ -3.9 \end{bmatrix}$$

12

12

Hinge Multiclasse

Fonction de coût (**Hinge loss** ou **SVM loss – One vs one**)

$$E_D(W) = \frac{1}{N} \sum_{\vec{x}_n \in M} \max(0, 1 + \bar{W}_j^T \vec{x}_n - \bar{W}_{t_n}^T \vec{x}_n)$$

Somme sur l'ensemble des
Données mal classées

Score de la mauvaise classe prédite

Score de la bonne classe

13

Hinge Multiclasse

Fonction de coût (**Hinge loss** ou **SVM loss – One vs One**)

$$E_D(W) = \frac{1}{N} \sum_{\vec{x}_n \in M} \underbrace{\max(0, 1 + \bar{W}_j^T \vec{x}_n - \bar{W}_{t_n}^T \vec{x}_n)}_{E_{\vec{x}_n}}$$

$$\nabla_{\bar{W}_{t_n}} E_{\vec{x}_n} = \begin{cases} -\vec{x}_n & \text{si } \bar{W}_{t_n}^T \vec{x}_n < \bar{W}_j^T \vec{x}_n + 1 \\ 0 & \text{sinon} \end{cases}$$

$$\nabla_{\bar{W}_j} E_{\vec{x}_n} = \begin{cases} \vec{x}_n & \text{si } \bar{W}_{t_n}^T \vec{x}_n < \bar{W}_j^T \vec{x}_n + 1 \text{ et } j \neq t_n \\ 0 & \text{sinon} \end{cases}$$

14

Hinge Multiclasse one-vs-one

Descente de gradient stochastique (version naïve, batch_size = 1)

```
Initialiser W
k=0, i=0
DO k=k+1
  FOR n = 1 to N
    IF  $\bar{W}_{t_n}^T \vec{x}_n < \bar{W}_j^T \vec{x}_n + 1$  THEN
       $\bar{W}_{t_n} = \bar{W}_{t_n} + \eta \vec{x}_n$ 
       $\bar{W}_j = \bar{W}_j - \eta \vec{x}_n$ 
```

UNTIL toutes les données sont bien classées.

Au TP1, implanter cette version « naïve »

15

Hinge Multiclasse

Fonction de coût (**Hinge loss** ou **SVM loss – One vs all**)

$$E_D(W) = \frac{1}{N} \sum_{n=1}^N \sum_j \max(0, 1 + \vec{W}_j^T \vec{x}_n - \vec{W}_{t_n}^T \vec{x}_n)$$

Somme sur l'ensemble des données
 Score d'une mauvaise classe
 Score de la bonne classe

16

Hinge Multiclasse

Fonction de coût (**Hinge loss** ou **SVM loss – One vs all**)

$$E_D(W) = \frac{1}{N} \sum_{n=1}^N \underbrace{\sum_j \max(0, 1 + \vec{W}_j^T \vec{x}_n - \vec{W}_{t_n}^T \vec{x}_n)}_{E_{\vec{x}_n}}$$

$$\nabla_{\vec{W}_{t_n}} E_{\vec{x}_n} = \begin{cases} -\vec{x}_n & \text{si } \vec{W}_{t_n}^T \vec{x}_n < \vec{W}_j^T \vec{x}_n + 1 \\ 0 & \text{sinon} \end{cases}$$

$$\nabla_{\vec{W}_j} E_{\vec{x}_n} = \begin{cases} \vec{x}_n & \text{si } \vec{W}_{t_n}^T \vec{x}_n < \vec{W}_j^T \vec{x}_n + 1 \text{ et } j \neq t_n \\ 0 & \text{sinon} \end{cases}$$

17

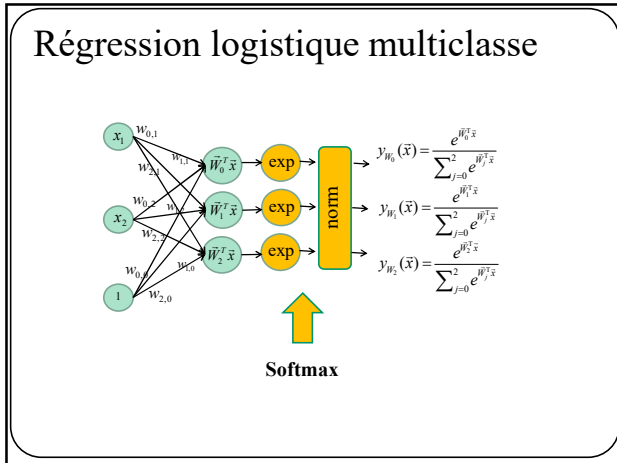
Hinge Multiclasse one-vs-all

Descente de gradient stochastique (version naïve, batch_size = 1)

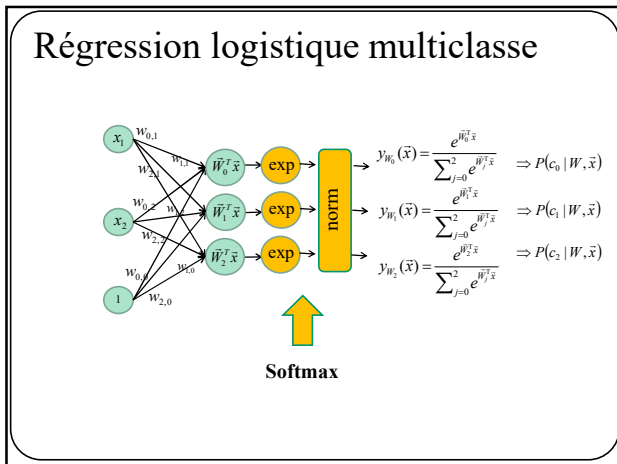
```

Initialiser W
k=0, i=0
DO k=k+1
  FOR n = 1 to N
    IF  $\vec{W}_{t_n}^T \vec{x}_n < \vec{W}_j^T \vec{x}_n + 1$  THEN
       $\vec{w}_{t_n} = \vec{w}_{t_n} + \eta \vec{x}_n$ 
      FOR j=1 to NB_CLASSES THEN
        IF  $\vec{W}_{t_n}^T \vec{x}_n < \vec{W}_j^T \vec{x}_n + 1$  AND  $j \neq t_n$  THEN
           $\vec{w}_j = \vec{w}_j - \eta \vec{x}_n$ 
      UNTIL toutes les données sont bien classées.
  
```

18



19



20

Régression logistique multiclass

airplane		'airplane' => t = [1000000000]
automobile		'automobile' => t = [0100000000]
bird		'bird' => t = [0010000000]
cat		'cat' => t = [0001000000]
deer		'deer' => t = [0000100000]
dog		'dog' => t = [0000010000]
frog		'frog' => t = [0000001000]
horse		'horse' => t = [0000000100]
ship		'ship' => t = [0000000010]
truck		'truck' => t = [0000000001]

Étiquettes de classe : one-hot vector

21

Régression logistique multiclasse

Fonction de coût est une **entropie croisée** (*cross entropy loss*)

$$E_D(W) = -\frac{1}{N} \sum_{n=1}^N \sum_{k=1}^K t_{kn} \ln y_{W_k}(\vec{x}_n)$$

$$\nabla E_D(W) = \frac{1}{N} \sum_{n=1}^N \vec{x}_n (y_W(\vec{x}_n) - \vec{t}_n)^T$$

22

Tous les détails du gradient de l'entropie croisée :

jodoin.github.io/cours/ift603/softmax_grad.html

Au tp1: implanter une **version naïve** avec des boucles for et une **version vectorisée SANS boucle for**.

23

$$\vec{x} = \begin{bmatrix} -15 \\ 22 \\ -44 \\ 56 \end{bmatrix}, t = 2$$

$$W = \begin{bmatrix} 0.0 & 0.01 & -0.05 & 0.1 & 0.05 \\ 0.2 & 0.7 & 0.2 & 0.05 & 0.16 \\ -0.3 & 0.0 & -0.45 & -0.2 & 0.03 \end{bmatrix}$$

Hinge loss – One vs All

Score

$$\begin{aligned} & \max(0, -2.85 - 0.28 + 1) + \\ & \max(0, 0.86 - 0.28 + 1) + \\ & \max(0, -2.13) + \max(0, 1.58) \\ & = 1.58 \end{aligned}$$

Entropie croisée

Score

$$\begin{aligned} & \begin{bmatrix} -2.85 \\ 0.86 \\ 0.28 \end{bmatrix} \xrightarrow{\text{exp}} \begin{bmatrix} 0.06 \\ 2.36 \\ 1.32 \end{bmatrix} \xrightarrow{\text{norm}} \begin{bmatrix} 0.02 \\ 0.63 \\ 0.35 \end{bmatrix} \\ & -\ln(0.35) = 0.452 \end{aligned}$$

(Softmax)

24

Maximum *a posteriori*

Régularisation

$$\arg \min_W = E_D(W) + \lambda R(W)$$

Fonction de perte (pointing to $E_D(W)$)
 Constante (pointing to λ)
 Régularisation (pointing to $R(W)$)

En général L1 ou L2 $R(W) = \|W\|_1$ ou $\|W\|_2$

25

Optimisation

Descente de gradient

$$w^{[k+1]} = w^{[k]} - \eta^{[k]} \nabla E$$

↗ Gradient de la fonction de coût
 ↘ Taux d'apprentissage ou "learning rate".

Descente de gradient stochastique

```

Initialiser w
k=0
FAIRE k=k+1
  FOR n = 1 to N
    w = w - ηk ∇E(xn)
  JUSQU'À ce que toutes les données
  soient bien classées ou k==MAX_ITER
        
```

Optimisation par *Batch*

```

Initialiser w
k=0
FAIRE k=k+1
  w = w - ηk ∑i ∇E(xi)
  JUSQU'À ce que toutes les données
  soient bien classées ou k==MAX_ITER
        
```

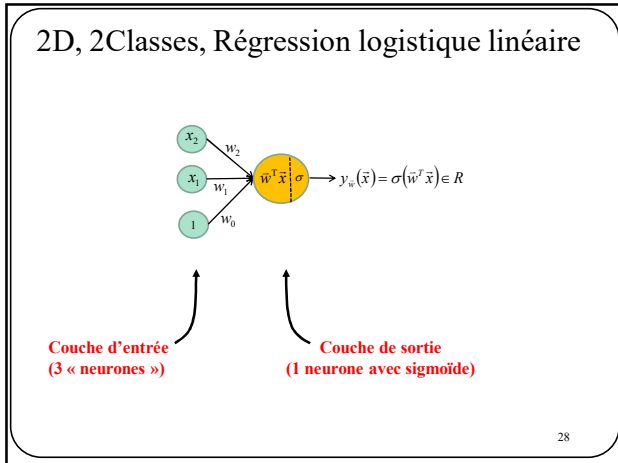
Parfois $\eta^{[k]} = cst / k$

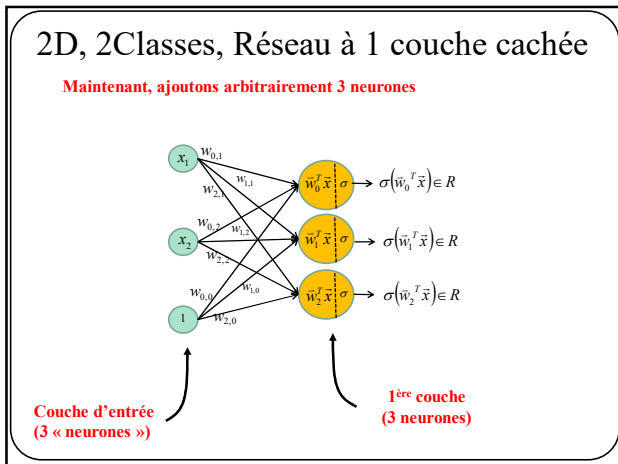
26

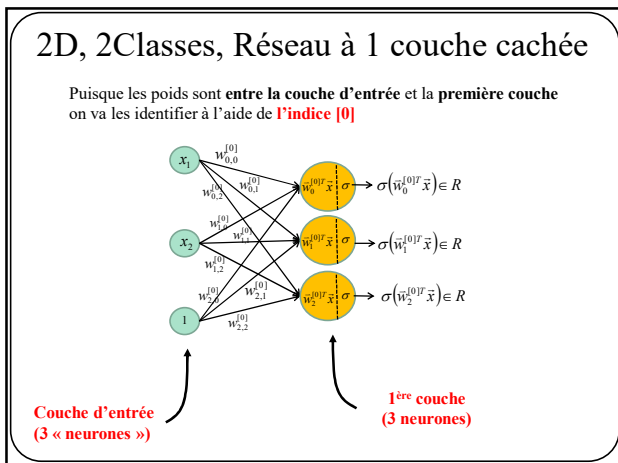
Maintenant, rendons le réseau profond

Maintenant, rendons le réseau

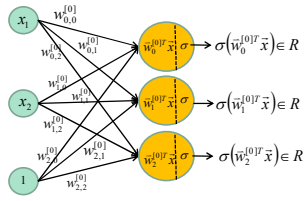
27







2D, 2Classes, Réseau à 1 couche cachée

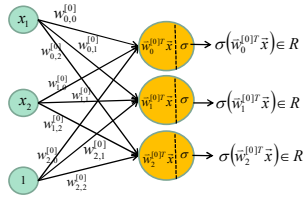


NOTE: à la sortie de la première couche, on a **3 réels** calculés ainsi

$$\sigma \left(\begin{bmatrix} w_{0,0}^{[0]} & w_{0,1}^{[0]} & w_{0,2}^{[0]} \\ w_{1,0}^{[0]} & w_{1,1}^{[0]} & w_{1,2}^{[0]} \\ w_{2,0}^{[0]} & w_{2,1}^{[0]} & w_{2,2}^{[0]} \end{bmatrix} \begin{bmatrix} x_0 \\ x_1 \\ 1 \end{bmatrix} \right)$$

31

2D, 2Classes, Réseau à 1 couche cachée



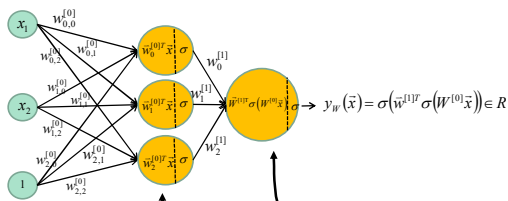
NOTE: représentation plus simple de la sortie de la 1^{ère} couche (**3 réels**)

$$\sigma(W^{[0]}\vec{x})$$

32

2D, 2Classes, Réseau à 1 couche cachée

Si on veut effectuer une **classification 2 classes** via une **régression logistique** (donc une **fonction coût par « entropie croisée »**) on doit ajouter un **neurone de sortie**.

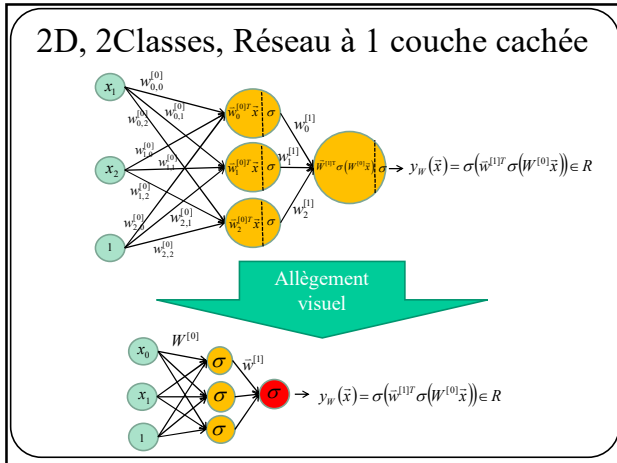


Couche d'entrée
(3 « neurones »)

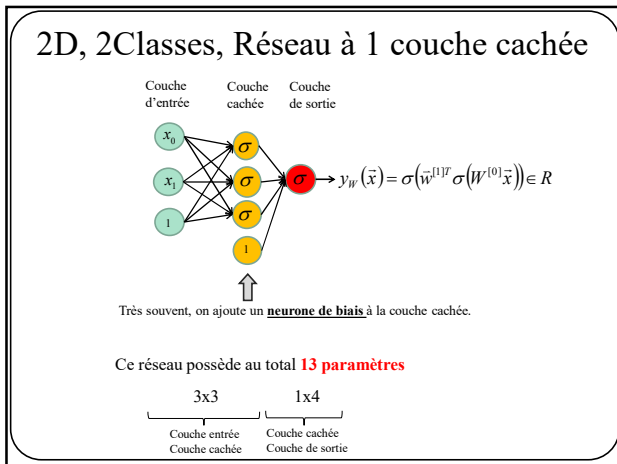
1^{ère} couche cachée
(3 neurones)

Couche de sortie
(1 neurone)

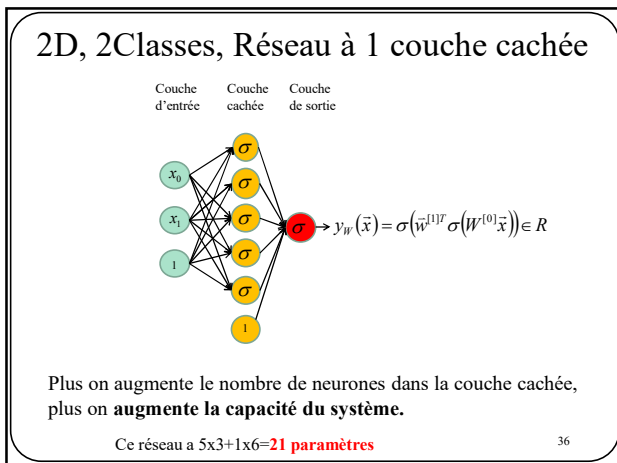
33



34



35



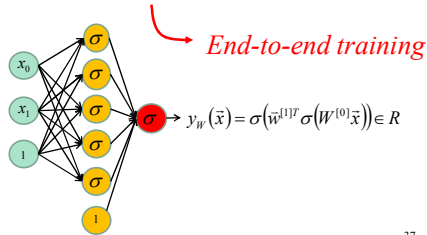
36

NOTE Importante

Le but de la première couche est de **projeter les données d'entrée** (ici $\vec{x} \in \mathbb{R}^2$) vers un espace dimensionnel plus grand (ici $\sigma(W^{[0]}\vec{x}) \in \mathbb{R}^3$) là où les **classes sont linéairement séparables**.

Car il ne faut pas oublier que la **couche de sortie** est une **régression logistique linéaire**.

Par conséquent, au lieu de fixer nous même la fonction de base, on laisse le **réseau l'apprendre**.

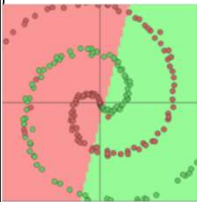


37

37

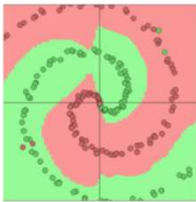
Nombre de neurones VS Capacité

Aucun neurone caché



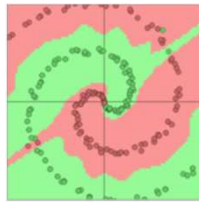
Classification linéaire
Underfitting
(pas assez de capacité)

12 neurones cachés



Classification non linéaire
BON RÉSULTAT
(bonne capacité)

60 neurones cachés



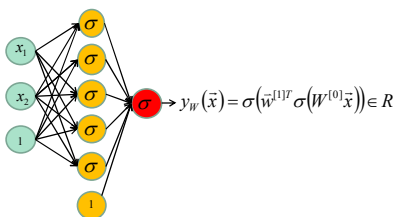
Classification non linéaire
Over fitting
(trop grande capacité)

<http://cs.stanford.edu/people/karpathy/convnetjs/demo/classify2d.html>

38

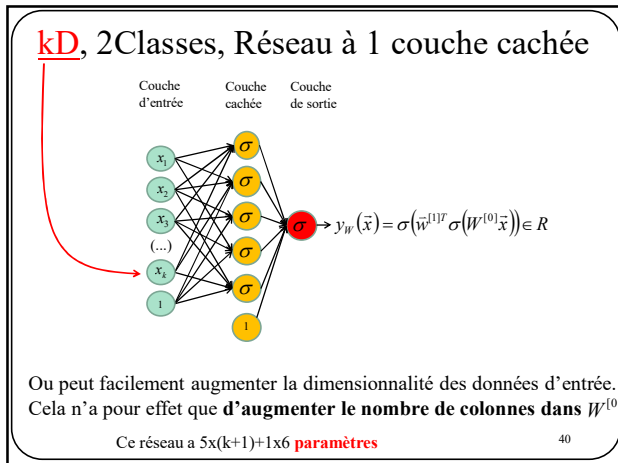
2D, 2Classes, Réseau à 1 couche cachée

Couche d'entrée Couche cachée Couche de sortie

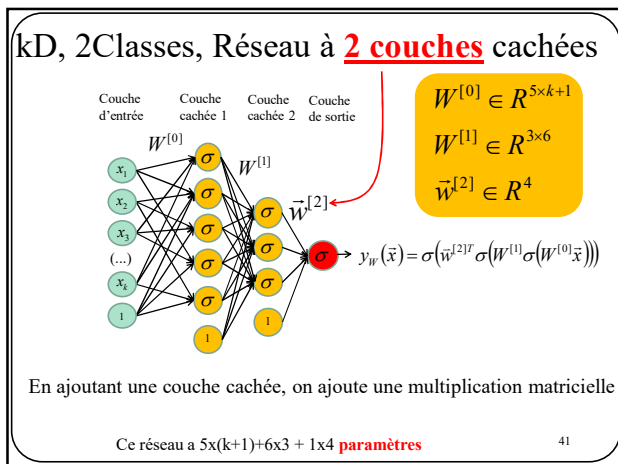


39

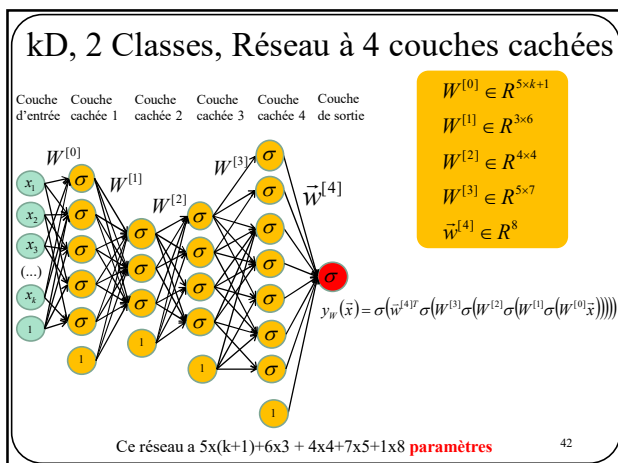
39



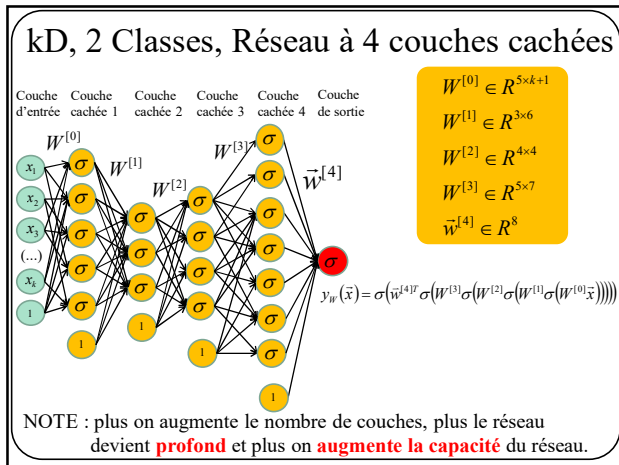
40



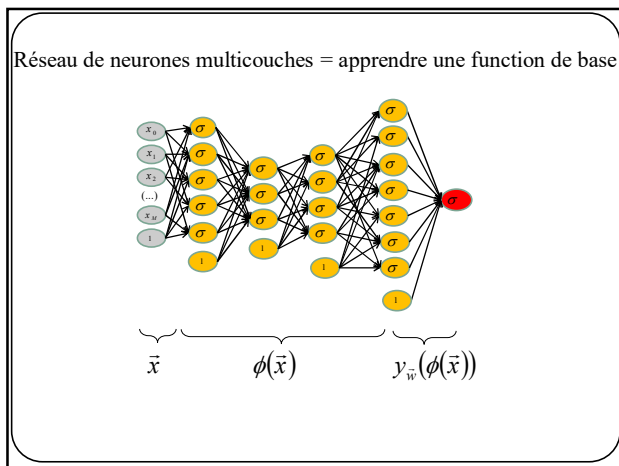
41



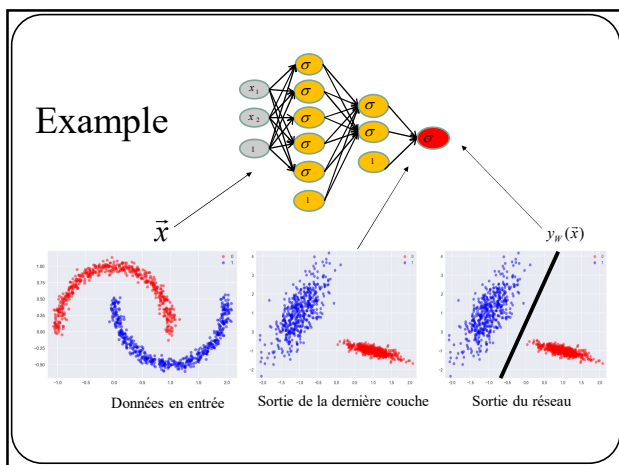
42



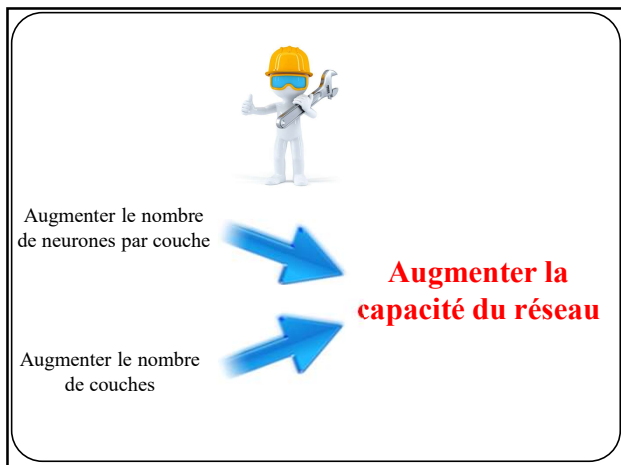
43



44



45



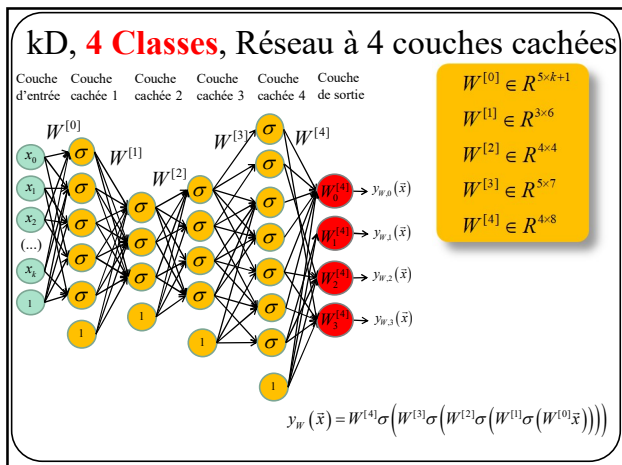
46



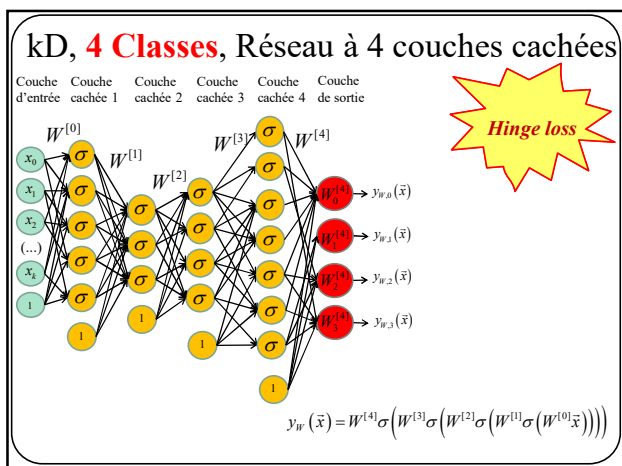
47



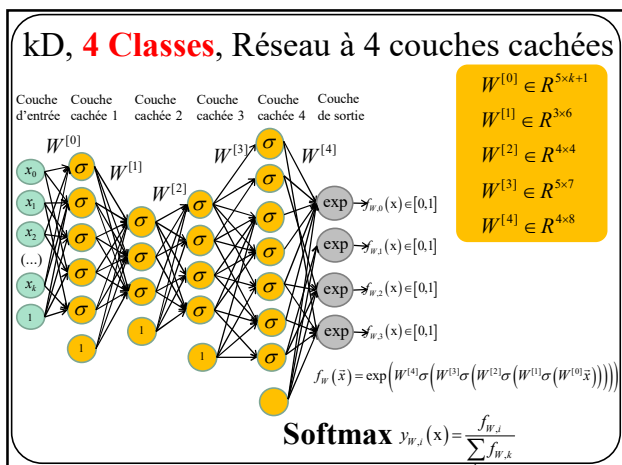
48



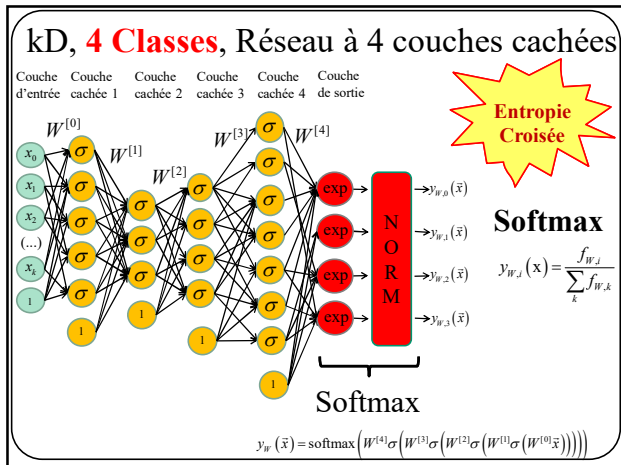
49



50



51



52

Simulation

<http://cs.stanford.edu/people/karpathy/convnetjs/demo/classify2d.html>

53

Comment faire une prédiction?

Ex.: faire transiter un signal de l'entrée à la sortie d'un réseau à 3 couches cachées

```
import numpy as np

def sigmoid(x):
    return 1.0 / (1.0+np.exp(-x))

x = np.insert(x,0,1) # Ajouter biais
H1 = sigmoid(np.dot(W0,x))
H1 = np.insert(H1,0,1) # Ajouter biais } Couche 1
H2 = sigmoid(np.dot(W1,H1))
H2 = np.insert(H2,0,1) # Ajouter biais } Couche 2
H3 = sigmoid(np.dot(W2,H2))
H3 = np.insert(H3,0,1) # Ajouter biais } Couche 3
y_pred = np.dot(W3,H3) } Couche sortie
```

Forward pass

54

Comment optimiser les paramètres?

0- Partant de

$$W = \arg \min_W E_D(W) + \lambda R(W)$$

Trouver une fonction de régularisation. En général

$$R(W) = \|W\|_1 \text{ ou } \|W\|_2$$

55

55

Comment optimiser les paramètres?

1- Trouver une loss $E_D(W)$ comme par exemple

Hinge loss

Entropie croisée (cross entropy)



N'oubliez pas d'ajuster la sortie du réseau en fonction de la loss que vous aurez choisi.

cross entropy => Softmax

56

Comment optimiser les paramètres?

2- Calculer le gradient de la loss par rapport à chaque paramètre

$$\frac{\partial (E_D(W) + \lambda R(W))}{\partial w_{a,b}^{[c]}}$$

et lancer un algorithme de descente de gradient pour mettre à jour les paramètres.

$$w_{a,b}^{[c]} = w_{a,b}^{[c]} - \eta \frac{\partial (E_D(W) + \lambda R(W))}{\partial w_{a,b}^{[c]}}$$

57

57

Comment optimiser les paramètres?

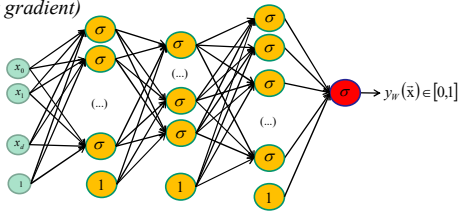
$$\frac{\partial (E_D(W) + \lambda R(W))}{\partial W_{a,b}^{[c]}} \Rightarrow \text{calculé à l'aide d'une rétropropagation}$$

58

58

Disparition du gradient

(vanishing gradient)



Malheureusement, l'entraînement d'un **réseau profond** avec **rétro-propagation** et des fonctions d'activations **sigmoïdales** entraîne des problèmes de

disparition du gradient

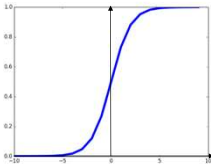
59

59

On résout le problème de la disparition du gradient à l'aide
d'autres fonctions d'activations

60

Fonction d'activation



Sigmoïde

$$\sigma(x) = \frac{1}{1 + e^{-x}}$$

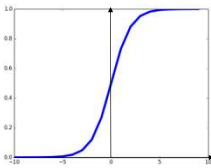
- Ramène les valeurs entre 0 et 1
- Historiquement populaire

3 Problèmes :

- Un neurone saturé a pour effet de « **tuer** » les **gradients**

61

Fonction d'activation



Sigmoïde

$$\sigma(x) = \frac{1}{1 + e^{-x}}$$

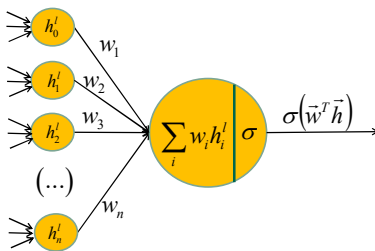
- Ramène les valeurs entre 0 et 1
- Historiquement populaire

3 Problèmes :

- Un neurone saturé a pour effet de « **tuer** » les **gradients**
- Sortie d'une sigmoïde n'est **pas** **centrée à zéro**.

62

Qu'arrive-t-il lorsque le vecteur d'entrée \vec{h} d'un neurone est toujours positif?

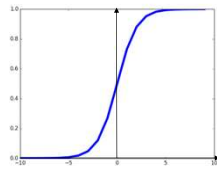


Le gradient par rapport à \vec{w} est ... **Positif? Négatif?**

Réponse : <https://rohanvarma.me/inputnormalization/>

63

Fonction d'activation



Sigmoïde

$$\sigma(x) = \frac{1}{1 + e^{-x}}$$

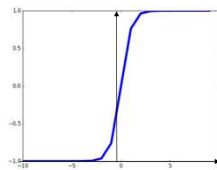
- Ramène les valeurs entre 0 et 1
- Historiquement populaire

3 Problèmes :

- Un neurone saturé a pour effet de « **tuer** » les **gradients**
- Sortie d'une sigmoïde n'est **pas centrée à zéro**.
- $\exp()$ est **coûteux** lorsque le nombre de neurones est élevé.

64

Fonction d'activation



Tanh(x)

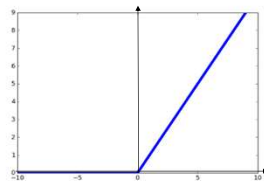
- Ramène les valeurs entre -1 et 1
- **Sortie centrée à zéro** 😊
- **Disparition du gradient** lorsque la fonction sature ☹️

[LeCun et al., 1991]

65

Fonction d'activation

$$\text{ReLU}(x) = \max(0, x)$$



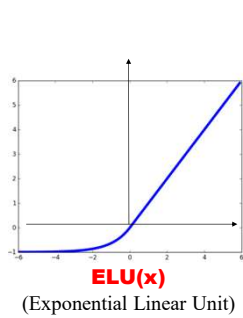
ReLU(x)
(Rectified Linear Unit)

- Aucune **saturation** 😊
- Super **rapide** 😊
- **Convergence plus rapide** que sigmoïde/tanh (5 à 10x) 😊
- Sortie **non centrée à zéro** ☹️
- Un **inconvenient** : qu'arrive-t-il au gradient lorsque $x < 0$? ☹️

[Krizhevsky et al., 2012]

66

Fonction d'activation



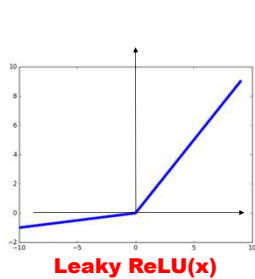
$$\text{ELU}(x) = \begin{cases} x & \text{si } x > 0 \\ \alpha(e^x - 1) & \text{sinon} \end{cases}$$

- Tous les avantages de **ReLU** 😊
- Sortie plus « centrée à zéro » 😊
- **Converge plus rapide** que sigmoïde/tanh (5 à 10x) 😊
- **Gradients meurent plus lentement** 😊
- $\exp()$ est **coûteux** 😞

[Clevert et al., 2015]

67

Fonction d'activation



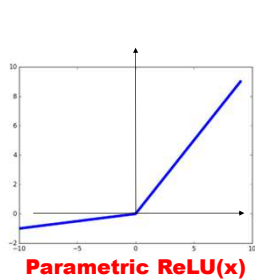
$$\text{LReLU}(x) = \max(0.01x, x)$$

- Aucune **saturation** 😊
- Super **rapide** 😊
- **Converge plus rapide** que sigmoïde/tanh (5 à 10x) 😊
- **Gradients ne meurent pas** 😊
- 0.01 est un **hyperparamètre** 😊

[Mass et al., 2013]
[He et al., 2015]

68

Fonction d'activation



$$\text{PReLU}(x) = \max(\alpha x, x)$$

- Aucune **saturation** 😊
- Super **rapide** 😊
- **Converge plus rapide** que sigmoïde/tanh (5 à 10x) 😊
- **Gradients ne meurent pas** 😊
- α **appris** lors de la rétro-propagation 😊

[Mass et al., 2013]
[He et al., 2015]

69

Fonction d'activation

Plusieurs autres fonctions d'activation ont été proposée :

- GELU (Gaussian Error Linear Unit)
- SiLU (Sigmoid Linear Unit)
- Swish
- GLU (Gated Linear Unit)
- ReGLU (Rectified Gated Linear Unit)
- GEGLU (Gaussian Error Gated Linear Unit)
- SwiGLU (Swish-Gated Linear Unit)
- Etc.

À vous de les découvrir!



https://vitalab.github.io/blog/2024/08/20/new_activation_functions.html

70

En pratique

- Par défaut, le gens utilisent **ReLU**.
- Essayez **Leaky ReLU** / **PReLU** / **ELU** / etc.
- Essayez **tanh** mais n'attendez-vous pas à grand chose
- **Ne pas utiliser de sigmoïde** sauf à la sortie d'un réseau 2 classes ou pour des modèles d'attention.

71

Les bonnes pratiques

72

Optimisation

Descente de gradient

$$\mathbf{w}^{[k+1]} = \mathbf{w}^{[k]} - \eta^{[k]} \nabla E$$

↗ Gradient de la fonction de coût
 ↘ Taux d'apprentissage ou "learning rate".

Descente de gradient stochastique

```

Initialiser w
k=0
FAIRE k=k+1
  FOR n = 1 to N
    w = w - η[k] ∇E(xn)
  JUSQU'À ce que toutes les données
  soient bien classées ou k== MAX_ITER
        
```

Parfois $\eta^{[k]} = cst / k$

Optimisation par Batch

```

Initialiser w
k=0
FAIRE k=k+1
  w = w - η[k] ∑i ∇E(xi)
  JUSQU'À ce que toutes les données
  soient bien classées ou k==MAX_ITER
        
```

73

Optimisation

Descente de gradient

$$\mathbf{w}^{[k+1]} = \mathbf{w}^{[k]} - \eta^{[k]} \nabla E$$

↗ Gradient de la fonction de coût
 ↘ Taux d'apprentissage ou "learning rate".

Optimisation par mini-batch

```

Initialiser w
k=0
FAIRE k=k+1
  FAIRE n=0 à N par sauts de MBS /*Mini-batch size*/
    w = w - η[k] ∑i=nn+MBS ∇E(xi)
  JUSQU'À ce que toutes les données soient bien classées ou
  k==MAX_ITER
        
```

**TP1 TP2
TP3 TP4**

} Itération

74

Optimisation

Descente de gradient

$$\mathbf{w}^{[k+1]} = \mathbf{w}^{[k]} - \eta^{[k]} \nabla E$$

↗ Gradient de la fonction de coût
 ↘ Taux d'apprentissage ou "learning rate".

Optimisation par mini-batch

```

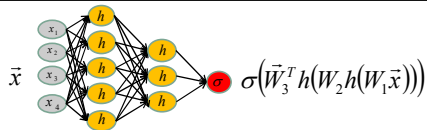
Initialiser w
k=0
FAIRE k=k+1
  FAIRE n=0 à N par sauts de MBS /*Mini-batch size*/
    w = w - η[k] ∑i=nn+MBS ∇E(xi)
  JUSQU'À ce que toutes les données sont bien classées ou
  k==MAX_ITER
        
```

} Epoch

75

Mini-batch = **vectorisation** de la
propagation avant et de la rétro-
propagation

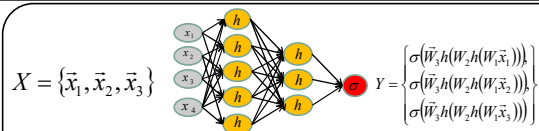
76



Propagation avant pour un réseau à 2 couches cachées (7 étapes)

Étape 2	\vec{x}	$\in \mathbb{R}^4$
	$W_1 \vec{x}$	$\in \mathbb{R}^5$
	$h(W_1 \vec{x})$	$\in \mathbb{R}^5$
	$W_2 h(W_1 \vec{x})$	$\in \mathbb{R}^3$
	$h(W_2 h(W_1 \vec{x}))$	$\in \mathbb{R}^3$
Étape 6	$\vec{W}_3^T (h(W_2 h(W_1 \vec{x})))$	$\in \mathbb{R}$
	$\sigma(\vec{W}_3^T (h(W_2 h(W_1 \vec{x}))))$	$\in \mathbb{R}$

77



Propagation avant pour un réseau à 2 couches cachées (7 étapes)

POUR i allant de 0 à 2

$\vec{x} = X[i]$	$\in \mathbb{R}^4$
$W_1 \vec{x}$	$\in \mathbb{R}^5$
$h(W_1 \vec{x})$	$\in \mathbb{R}^5$
$W_2 h(W_1 \vec{x})$	$\in \mathbb{R}^3$
$h(W_2 h(W_1 \vec{x}))$	$\in \mathbb{R}^3$
$\vec{W}_3^T (h(W_2 h(W_1 \vec{x})))$	$\in \mathbb{R}$
$Y[i] = \sigma(\vec{W}_3^T (h(W_2 h(W_1 \vec{x}))))$	$\in \mathbb{R}$

Solution
naïve et peu
efficace

TP1

78

Solution

Il est plus efficace d'effectuer **UNE multiplication matricielle** que **PLUSIEURS multiplications matrice-vecteur** (exemple de la 2^e étape, batch de 3)

$$\begin{aligned}
 W_1 \vec{x}_1 &= \begin{pmatrix} w_{11} & w_{12} & w_{13} & w_{14} \\ w_{21} & w_{22} & w_{23} & w_{24} \\ w_{31} & w_{32} & w_{33} & w_{34} \\ w_{41} & w_{42} & w_{43} & w_{44} \\ w_{51} & w_{52} & w_{53} & w_{54} \end{pmatrix} \begin{bmatrix} a \\ b \\ c \\ d \end{bmatrix} = \begin{bmatrix} u_1 \\ u_2 \\ u_3 \\ u_4 \\ u_5 \end{bmatrix} \\
 W_1 \vec{x}_2 &= \begin{pmatrix} w_{11} & w_{12} & w_{13} & w_{14} \\ w_{21} & w_{22} & w_{23} & w_{24} \\ w_{31} & w_{32} & w_{33} & w_{34} \\ w_{41} & w_{42} & w_{43} & w_{44} \\ w_{51} & w_{52} & w_{53} & w_{54} \end{pmatrix} \begin{bmatrix} d \\ e \\ f \\ g \end{bmatrix} = \begin{bmatrix} v_1 \\ v_2 \\ v_3 \\ v_4 \\ v_5 \end{bmatrix} \\
 W_1 \vec{x}_3 &= \begin{pmatrix} w_{11} & w_{12} & w_{13} & w_{14} \\ w_{21} & w_{22} & w_{23} & w_{24} \\ w_{31} & w_{32} & w_{33} & w_{34} \\ w_{41} & w_{42} & w_{43} & w_{44} \\ w_{51} & w_{52} & w_{53} & w_{54} \end{pmatrix} \begin{bmatrix} h \\ i \\ j \\ k \end{bmatrix} = \begin{bmatrix} z_1 \\ z_2 \\ z_3 \\ z_4 \\ z_5 \end{bmatrix}
 \end{aligned}$$

TROIS multi. matrice-vecteur

79

Solution

Il est plus efficace d'effectuer **UNE multiplication matricielle** que **PLUSIEURS matrice-vecteur** (exemple de la 2^e étape, batch de 3)

$$W_1 X = \begin{pmatrix} w_{11} & w_{12} & w_{13} & w_{14} \\ w_{21} & w_{22} & w_{23} & w_{24} \\ w_{31} & w_{32} & w_{33} & w_{34} \\ w_{41} & w_{42} & w_{43} & w_{44} \\ w_{51} & w_{52} & w_{53} & w_{54} \end{pmatrix} \begin{bmatrix} a & d & h \\ b & e & i \\ c & f & j \\ d & g & k \end{bmatrix} = \begin{bmatrix} u_1 & v_1 & z_1 \\ u_2 & v_2 & z_2 \\ u_3 & v_3 & z_3 \\ u_4 & v_4 & z_4 \\ u_5 & v_5 & z_5 \end{bmatrix}$$

UNE multiplication matricielle

80

Solution

Il est plus efficace d'effectuer **UNE multiplication matricielle** que **PLUSIEURS produits scalaires** (exemple de la 6^e étape, batch de 3)

$$\begin{aligned}
 \begin{pmatrix} w_1 & w_2 & w_3 \end{pmatrix} \begin{pmatrix} a \\ b \\ c \end{pmatrix} &= w_1 a + w_2 b + w_3 c \\
 \begin{pmatrix} w_1 & w_2 & w_3 \end{pmatrix} \begin{pmatrix} d \\ e \\ f \end{pmatrix} &= w_1 d + w_2 e + w_3 f \\
 \begin{pmatrix} w_1 & w_2 & w_3 \end{pmatrix} \begin{pmatrix} g \\ h \\ i \end{pmatrix} &= w_1 g + w_2 h + w_3 i
 \end{aligned}$$

$$\begin{pmatrix} w_1 a + w_2 b + w_3 c \\ w_1 d + w_2 e + w_3 f \\ w_1 g + w_2 h + w_3 i \end{pmatrix} = Y$$

TROIS produits scalaires

81

Solution

Il est plus efficace d'effectuer **UNE multiplication matricielle** que PLUSIEURS produits scalaires (**exemple de la 6^e étape, batch de 3**)

$$\begin{bmatrix} w_1 & w_2 & w_3 \end{bmatrix} \begin{pmatrix} a & d & g \\ b & e & h \\ c & f & i \end{pmatrix} = \begin{pmatrix} w_1a + w_2b + w_3c \\ w_1d + w_2e + w_3f \\ w_1g + w_2h + w_3i \end{pmatrix} = Y$$



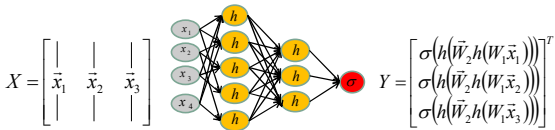
82

Vectorisation de la propagation avant

En résumé, lorsqu'on propage une « batch » de données

Au niveau Neuronal (batch = 1)	Multi. Vecteur-Vecteur	$\vec{w}^T \vec{x} = [w_1 \ w_2 \ w_3] \begin{pmatrix} a \\ b \\ c \end{pmatrix}$
Au niveau Neuronal (batch = 3)	Multi. Vecteur-Matrice	$\vec{w}^T X = [w_1 \ w_2 \ w_3] \begin{pmatrix} a & d & g \\ b & e & h \\ c & f & i \end{pmatrix}$
Au niveau de la couche (batch = 3)	Multi. Matrice-Matrice	$W X = \begin{bmatrix} w_{11} & w_{12} & w_{13} \\ w_{21} & w_{22} & w_{23} \\ w_{31} & w_{32} & w_{33} \end{bmatrix} \begin{pmatrix} a & d & h \\ b & e & i \\ c & f & j \end{pmatrix}$

83



Vectoriser la rétropropagation

84

Vectoriser la rétropropagation

Exemple simple pour **1 neurone et une batch de 3 données**

$$\begin{matrix} \begin{bmatrix} w_1 & w_2 & w_3 \end{bmatrix} & \begin{matrix} \begin{pmatrix} a & d & g \\ b & e & h \\ c & f & i \end{pmatrix} \\ X \end{matrix} & = & \begin{matrix} \begin{pmatrix} w_1 a + w_2 b + w_3 c \\ w_1 d + w_2 e + w_3 f \\ w_1 g + w_2 h + w_3 i \end{pmatrix}^T \\ Y \end{matrix} \end{matrix}$$

En supposant qu'on connaît le gradient pour les 3 éléments de Y provenant de la sortie du réseau, comment faire pour propager le gradient vers \vec{w} ?

85

Vectoriser la rétropropagation

Exemple simple pour **1 neurone et une batch de 3 données**

$$\begin{matrix} \begin{bmatrix} w_1 & w_2 & w_3 \end{bmatrix} & \begin{matrix} \begin{pmatrix} a & d & g \\ b & e & h \\ c & f & i \end{pmatrix} \\ X \end{matrix} & = & \begin{matrix} \begin{pmatrix} w_1 a + w_2 b + w_3 c \\ w_1 d + w_2 e + w_3 f \\ w_1 g + w_2 h + w_3 i \end{pmatrix}^T \\ Y \end{matrix} \end{matrix}$$

Rappelons que l'objectif est de faire une **descente de gradient**, i.e.

$$w_1 \leftarrow w_1 - \eta \frac{\partial E}{\partial w_1} \quad w_2 \leftarrow w_2 - \eta \frac{\partial E}{\partial w_2} \quad w_3 \leftarrow w_3 - \eta \frac{\partial E}{\partial w_3}$$

86

$$\begin{matrix} \begin{bmatrix} w_1 & w_2 & w_3 \end{bmatrix} & \begin{matrix} \begin{pmatrix} a & d & g \\ b & e & h \\ c & f & i \end{pmatrix} \\ X \end{matrix} & = & \begin{matrix} \begin{pmatrix} w_1 a + w_2 b + w_3 c \\ w_1 d + w_2 e + w_3 f \\ w_1 g + w_2 h + w_3 i \end{pmatrix}^T \\ Y \end{matrix} \end{matrix}$$

Concentrons-nous sur w_1

$$w_1 \leftarrow w_1 - \eta \frac{\partial E}{\partial w_1}$$

$$w_1 \leftarrow w_1 - \eta \frac{\partial E}{\partial Y} \frac{\partial Y}{\partial w_1} \quad (\text{par propriété de la dérivée en chaîne})$$

$$w_1 \leftarrow w_1 - \eta \left[\frac{\partial E_1}{\partial Y} \quad \frac{\partial E_2}{\partial Y} \quad \frac{\partial E_3}{\partial Y} \right] \begin{bmatrix} a \\ d \\ g \end{bmatrix} \quad (\text{provient de la rétro-propagation})$$

$$w_1 \leftarrow w_1 - \eta \left(\frac{\partial E_1}{\partial Y} a + \frac{\partial E_2}{\partial Y} b + \frac{\partial E_3}{\partial Y} c \right)$$

87

$$\begin{bmatrix} w_1 & w_2 & w_3 \end{bmatrix} \begin{bmatrix} a & d & g \\ b & e & h \\ c & f & i \end{bmatrix} = \begin{bmatrix} w_1 a + w_2 b + w_3 c \\ w_1 d + w_2 e + w_3 f \\ w_1 g + w_2 h + w_3 i \end{bmatrix}^T$$

$$\vec{w}^T \quad X \quad Y$$

Concentrons-nous sur w_1

$$w_1 \leftarrow w_1 - \eta \frac{\partial E}{\partial w_1}$$

$$w_1 \leftarrow w_1 - \eta \frac{\partial E}{\partial Y} \frac{\partial Y}{\partial w_1} \quad (\text{par propriété de la dérivée en chaîne})$$

$$w_1 \leftarrow w_1 - \eta \left[\frac{\partial E_1}{\partial Y} \quad \frac{\partial E_2}{\partial Y} \quad \frac{\partial E_3}{\partial Y} \right] \begin{bmatrix} a \\ d \\ g \end{bmatrix} \quad (\text{Puisqu'on a une batch de 3 éléments, on a 3 prédictions, et donc 3 gradients})$$

$$w_1 \leftarrow w_1 - \eta \left(\frac{\partial E_1}{\partial Y} a + \frac{\partial E_2}{\partial Y} b + \frac{\partial E_3}{\partial Y} c \right)$$

88

$$\begin{bmatrix} w_1 & w_2 & w_3 \end{bmatrix} \begin{bmatrix} a & d & g \\ b & e & h \\ c & f & i \end{bmatrix} = \begin{bmatrix} w_1 a + w_2 b + w_3 c \\ w_1 d + w_2 e + w_3 f \\ w_1 g + w_2 h + w_3 i \end{bmatrix}^T$$

$$\vec{w}^T \quad X \quad Y$$

Donc en résumé ...

$$w_1 \leftarrow w_1 - \eta \left[\frac{\partial E_1}{\partial Y} \quad \frac{\partial E_2}{\partial Y} \quad \frac{\partial E_3}{\partial Y} \right] \begin{bmatrix} a \\ d \\ g \end{bmatrix}$$

89

$$\begin{bmatrix} w_1 & w_2 & w_3 \end{bmatrix} \begin{bmatrix} a & d & g \\ b & e & h \\ c & f & i \end{bmatrix} = \begin{bmatrix} w_1 a + w_2 b + w_3 c \\ w_1 d + w_2 e + w_3 f \\ w_1 g + w_2 h + w_3 i \end{bmatrix}^T$$

$$\vec{w}^T \quad X \quad Y$$

Et pour tous les poids

$$w_1 \leftarrow w_1 - \eta \left[\frac{\partial E_1}{\partial Y} \quad \frac{\partial E_2}{\partial Y} \quad \frac{\partial E_3}{\partial Y} \right] \begin{bmatrix} a \\ d \\ g \end{bmatrix}$$

$$w_2 \leftarrow w_2 - \eta \left[\frac{\partial E_1}{\partial Y} \quad \frac{\partial E_2}{\partial Y} \quad \frac{\partial E_3}{\partial Y} \right] \begin{bmatrix} b \\ e \\ h \end{bmatrix}$$

$$w_3 \leftarrow w_3 - \eta \left[\frac{\partial E_1}{\partial Y} \quad \frac{\partial E_2}{\partial Y} \quad \frac{\partial E_3}{\partial Y} \right] \begin{bmatrix} c \\ f \\ i \end{bmatrix}$$

90

$$\begin{bmatrix} w_1 & w_2 & w_3 \end{bmatrix} \begin{pmatrix} a & d & g \\ b & e & h \\ c & f & i \end{pmatrix} = \begin{pmatrix} w_1 a + w_2 b + w_3 c \\ w_1 d + w_2 e + w_3 f \\ w_1 g + w_2 h + w_3 i \end{pmatrix}^T$$

$$\vec{w}^T \quad X \quad Y$$

Et pour tous les poids

$$\begin{bmatrix} w_1 \\ w_2 \\ w_3 \end{bmatrix}^T \leftarrow \begin{bmatrix} w_1 \\ w_2 \\ w_3 \end{bmatrix}^T - \eta \begin{bmatrix} \frac{\partial E_1}{\partial Y} & \frac{\partial E_2}{\partial Y} & \frac{\partial E_3}{\partial Y} \end{bmatrix} \begin{bmatrix} a & b & c \\ d & e & f \\ g & h & i \end{bmatrix}$$

$$\vec{w}^T \leftarrow \vec{w}^T - \eta \begin{bmatrix} \frac{\partial E_1}{\partial Y} & \frac{\partial E_2}{\partial Y} & \frac{\partial E_3}{\partial Y} \end{bmatrix} \begin{bmatrix} \frac{\partial Y_1}{\partial w_1} & \frac{\partial Y_1}{\partial w_2} & \frac{\partial Y_1}{\partial w_3} \\ \frac{\partial Y_2}{\partial w_1} & \frac{\partial Y_2}{\partial w_2} & \frac{\partial Y_2}{\partial w_3} \\ \frac{\partial Y_3}{\partial w_1} & \frac{\partial Y_3}{\partial w_2} & \frac{\partial Y_3}{\partial w_3} \end{bmatrix}$$

$$\vec{w}^T \leftarrow \vec{w}^T - \eta \frac{\partial E^T}{\partial Y} \frac{\partial Y}{\partial \vec{w}}$$

Matrice jacobienne

91

$$\begin{pmatrix} w_{11} & w_{12} & w_{13} & w_{14} \\ w_{21} & w_{22} & w_{23} & w_{24} \\ w_{31} & w_{32} & w_{33} & w_{34} \\ w_{41} & w_{42} & w_{43} & w_{44} \\ w_{51} & w_{52} & w_{53} & w_{54} \end{pmatrix} \begin{pmatrix} a & d & h \\ b & e & i \\ c & f & j \\ d & g & k \end{pmatrix} = \begin{pmatrix} u_1 y_1 z_1 \\ u_2 y_2 z_2 \\ u_3 y_3 z_3 \\ u_4 y_4 z_4 \\ u_5 y_5 z_5 \end{pmatrix}$$

$$W \quad X \quad Y$$

Même chose pour **1 couche 5x4 et une batch de 3 données**

$$W \leftarrow W^T - \eta \begin{bmatrix} \frac{\partial E_1}{\partial Y_1} & \frac{\partial E_2}{\partial Y_1} & \frac{\partial E_3}{\partial Y_1} \\ \frac{\partial E_1}{\partial Y_2} & \frac{\partial E_2}{\partial Y_2} & \frac{\partial E_3}{\partial Y_2} \\ \frac{\partial E_1}{\partial Y_3} & \frac{\partial E_2}{\partial Y_3} & \frac{\partial E_3}{\partial Y_3} \\ \frac{\partial E_1}{\partial Y_4} & \frac{\partial E_2}{\partial Y_4} & \frac{\partial E_3}{\partial Y_4} \\ \frac{\partial E_1}{\partial Y_5} & \frac{\partial E_2}{\partial Y_5} & \frac{\partial E_3}{\partial Y_5} \end{bmatrix} \begin{bmatrix} a & b & c & d \\ d & e & f & g \\ h & i & j & k \end{bmatrix}$$

$$W^T \leftarrow W^T - \eta \frac{\partial E^T}{\partial Y} \frac{\partial Y}{\partial W}$$

92

Vectorisation de la rétro-propagation

En résumé, lorsqu'on rétro-propage le gradient d'une batch

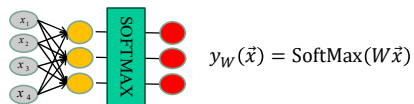
Au niveau neuronal	Multi. Vecteur-Matrice	$w_i \leftarrow w_i - \eta \frac{\partial E^T}{\partial Y} \frac{\partial Y}{\partial w_i}$ $w_i \leftarrow w_i - \eta \frac{\partial E^T}{\partial Y} x_i$
Au niveau de la couche	Multi. Matrice-Matrice	$W^T \leftarrow W^T - \eta \frac{\partial E^T}{\partial Y} \frac{\partial Y}{\partial W}$ $W^T \leftarrow W^T - \eta \frac{\partial E^T}{\partial Y} X$

93

Vectorisation de l'entropie croisée

94

Rappel : entropie croisée, 1 donnée

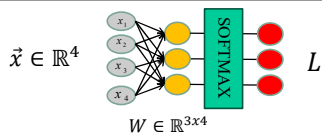


$$L_{\vec{x}}(W) = - \sum_{k=1}^K t_{kn} \ln y_{W_k}(\vec{x})$$

$$= -\vec{t}^T \ln y_W(\vec{x})$$

$$\nabla_W L_{\vec{x}}(W) = (y_W(\vec{x}_n) - \vec{t}) \vec{x}^T$$

95



Propagation avant d'une donnée pour un réseau à 1 couche (3 étapes)

\vec{x}	$\in \mathbb{R}^4$
$W \vec{x}$	$\in \mathbb{R}^3$
$Y = SM(W \vec{x})$	$\in \mathbb{R}^3$
$L = -\vec{t}^T \ln Y$	$\in \mathbb{R}$

96

$\vec{x} = [1, 2, 3, 4]^T$
 $W \in \mathbb{R}^{3 \times 4}$

$L = -\vec{t}^T \ln y_W(\vec{x})$

Exemple de perte:

$$Y = \begin{bmatrix} 0.1 \\ 0.6 \\ 0.3 \end{bmatrix} \text{ et } \vec{t} = \begin{bmatrix} 0 \\ 0 \\ 1 \end{bmatrix}$$

$$L = -[0 \ 0 \ 1] \ln \begin{bmatrix} 0.1 \\ 0.6 \\ 0.3 \end{bmatrix}$$

$$= -[0 \ 0 \ 1] \begin{bmatrix} -2.3 \\ -0.5 \\ -1.2 \end{bmatrix}$$

$$= 1.2$$

97

$\vec{x} = [1, 2, 3, 4]^T$
 $W \in \mathbb{R}^{3 \times 4}$

$Y = \begin{bmatrix} 0.1 \\ 0.6 \\ 0.3 \end{bmatrix}, \vec{t} = \begin{bmatrix} 0 \\ 0 \\ 1 \end{bmatrix}$

Exemple de gradient

$$\nabla_W L = (Y - \vec{t}) \vec{x}^T$$

$$= \left(\begin{bmatrix} 0.1 \\ 0.6 \\ 0.3 \end{bmatrix} - \begin{bmatrix} 0 \\ 0 \\ 1 \end{bmatrix} \right) [1, 2, 3, 4]$$

$$= \begin{bmatrix} 0.1 \\ 0.6 \\ -0.7 \end{bmatrix} [1, 2, 3, 4]$$

$$= \begin{bmatrix} .1 & .2 & .3 & .4 \\ .6 & 1.2 & 1.8 & 2.4 \\ -.3 & -.6 & -.9 & -1.2 \end{bmatrix} \in \mathbb{R}^{3 \times 4}$$

98

$X = \{\vec{x}_1, \vec{x}_2\}$
 $W \in \mathbb{R}^{3 \times 4}$

Y

Approche par batch

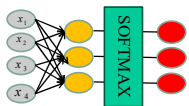
Solution par batch

$X \in \mathbb{R}^{4 \times 2}$
 $W \vec{x} \in \mathbb{R}^{3 \times 2}$
 $Y = SM(W \vec{x}) \in \mathbb{R}^{3 \times 2}$
 $L = -T^T \ln Y \in \mathbb{R}^2$

TP1

99

$$X = \begin{bmatrix} 1 & 2 & 3 & 4 \\ 5 & 6 & 7 & 8 \end{bmatrix}$$



$$L = -T^T \ln Y$$

$$Y = \begin{bmatrix} 0.1 & 0.7 \\ 0.6 & 0.25 \\ 0.3 & 0.05 \end{bmatrix}$$

$$\text{et } T = \begin{bmatrix} 0 & 1 \\ 0 & 0 \\ 1 & 0 \end{bmatrix}$$

$$Y = \begin{bmatrix} 0.1 & 0.7 \\ 0.6 & 0.25 \\ 0.3 & 0.05 \end{bmatrix}$$

Exemple de perte:

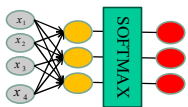
$$L = - \begin{bmatrix} 0 & 0 & 1 \\ 1 & 0 & 0 \end{bmatrix} \ln \begin{bmatrix} 0.1 & 0.7 \\ 0.6 & 0.25 \\ 0.3 & 0.05 \end{bmatrix}$$

$$= - \begin{bmatrix} 0 & 0 & 1 \\ 1 & 0 & 0 \end{bmatrix} \begin{bmatrix} -2.3 & -0.4 \\ -0.5 & -1.4 \\ -1.2 & -3.0 \end{bmatrix}$$

$$= \begin{bmatrix} 1.2 & 0.4 \end{bmatrix}$$

100

$$X = \begin{bmatrix} 1 & 2 & 3 & 4 \\ 5 & 6 & 7 & 8 \end{bmatrix}$$



$$Y = \begin{bmatrix} 0.1 & 0.7 \\ 0.6 & 0.25 \\ 0.3 & 0.05 \end{bmatrix}$$

$$\text{et } T = \begin{bmatrix} 0 & 1 \\ 0 & 0 \\ 1 & 0 \end{bmatrix}$$

Exemple de gradient

$$\nabla_W L = (Y - T) X$$

$$= \left(\begin{bmatrix} 0.1 & 0.7 \\ 0.6 & 0.25 \\ 0.3 & 0.05 \end{bmatrix} - \begin{bmatrix} 0 & 1 \\ 0 & 0 \\ 1 & 0 \end{bmatrix} \right) \begin{bmatrix} 1 & 2 & 3 & 4 \\ 5 & 6 & 7 & 8 \end{bmatrix}$$

$$= \begin{bmatrix} 0.1 & -0.3 \\ 0.6 & 0.25 \\ -0.7 & 0.05 \end{bmatrix} \begin{bmatrix} 1 & 2 & 3 & 4 \\ 5 & 6 & 7 & 8 \end{bmatrix}$$

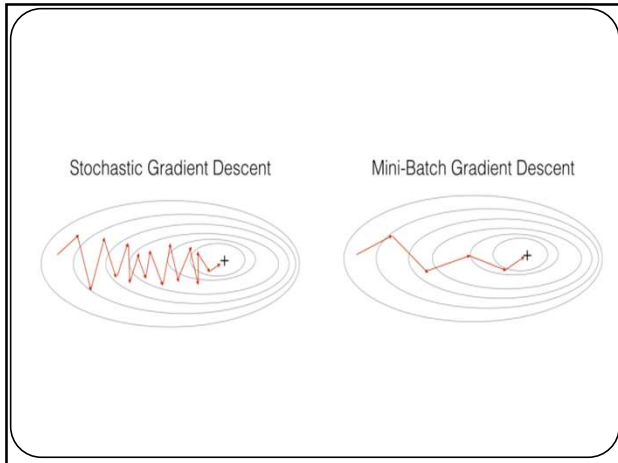
$$= \begin{bmatrix} -1.4 & -1.6 & -1.8 & -2 \\ 1.8 & 2.7 & 3.6 & 4.4 \\ -5 & -1.1 & -1.7 & -2.4 \end{bmatrix}$$

101

Pour plus de détails:

<https://medium.com/datathings/vectorized-implementation-of-back-propagation-1011884df84>
<https://peterroelants.github.io/posts/neural-network-implementation-part04/>

102



103

Comment initialiser un réseau de neurones?

$$W = ?$$


104

Initialisation

Première idée: faibles valeurs aléatoires
(Gaussienne $\mu = 0, \sigma = 0.01$)

```
W_i = 0.01 * np.random.randn(H_i, H_im1)
```

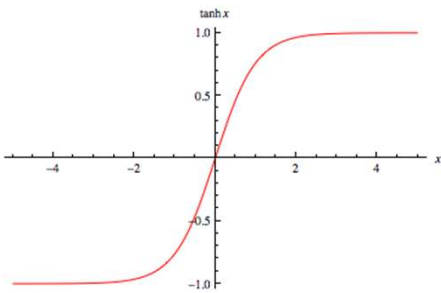
Fonctionne bien pour de petits réseaux mais
pas pour des réseaux profonds.



E.g. réseau à 10 couches avec 500 neurones par couche et des **tanh** comme fonctions d'activation.

105

Rappel tanh...

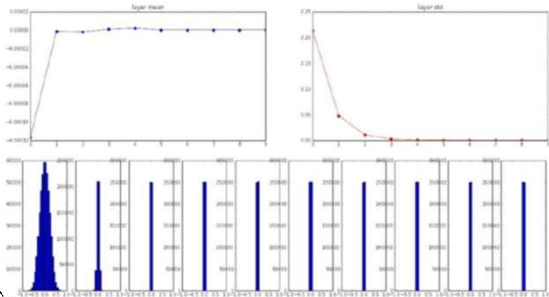


106

Histogrammes des valeurs de sortie des 10 couches.

input layer has mean 0.000527 and std 0.990300
hidden layer 1 has mean -0.000117 and std 0.213001
hidden layer 2 has mean -0.000001 and std 0.047551
hidden layer 3 has mean -0.000002 and std 0.019630
hidden layer 4 has mean 0.000001 and std 0.002379
hidden layer 5 has mean 0.000002 and std 0.000532
hidden layer 6 has mean -0.000000 and std 0.000119
hidden layer 7 has mean 0.000000 and std 0.000020
hidden layer 8 has mean -0.000000 and std 0.000006
hidden layer 9 has mean 0.000000 and std 0.000001
hidden layer 10 has mean -0.000000 and std 0.000000

L'activation des couches
devient zéro!



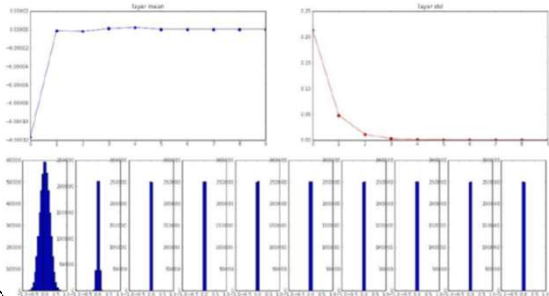
Credit: <https://cs231n.stanford.edu/>

107

Histogrammes des valeurs de sortie des 10 couches.

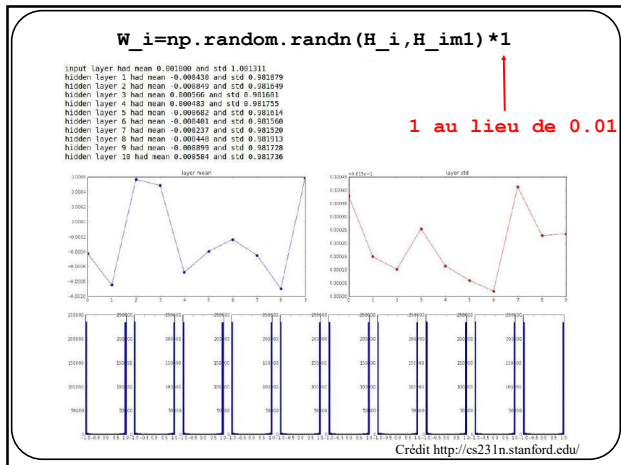
input layer has mean 0.000527 and std 0.990300
hidden layer 1 has mean -0.000117 and std 0.213001
hidden layer 2 has mean -0.000001 and std 0.047551
hidden layer 3 has mean -0.000002 and std 0.019630
hidden layer 4 has mean 0.000001 and std 0.002379
hidden layer 5 has mean 0.000002 and std 0.000532
hidden layer 6 has mean -0.000000 and std 0.000119
hidden layer 7 has mean 0.000000 and std 0.000020
hidden layer 8 has mean -0.000000 and std 0.000006
hidden layer 9 has mean 0.000000 and std 0.000001
hidden layer 10 has mean -0.000000 and std 0.000000

Vous voyez ce qui arrive
à la **forward pass** et la
rétropropagation?

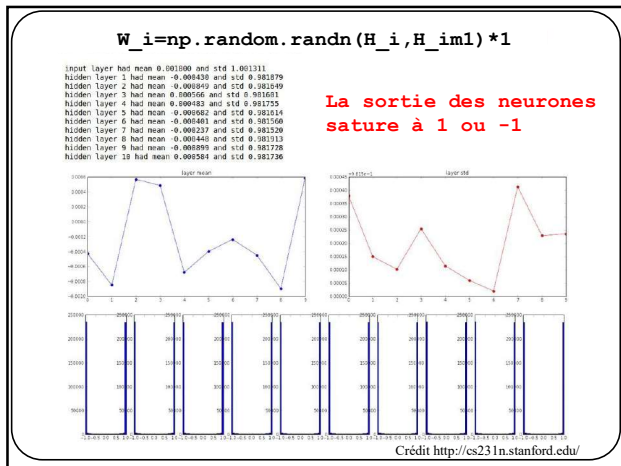


Credit: <https://cs231n.stanford.edu/>

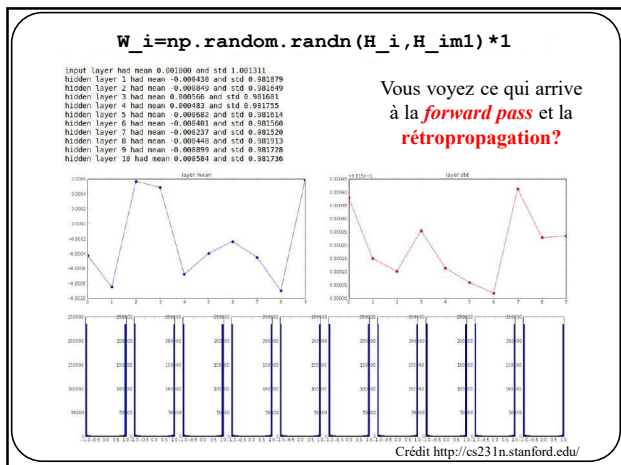
108



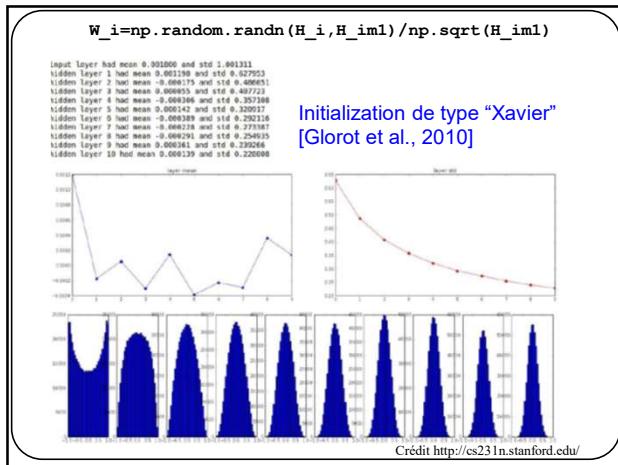
109



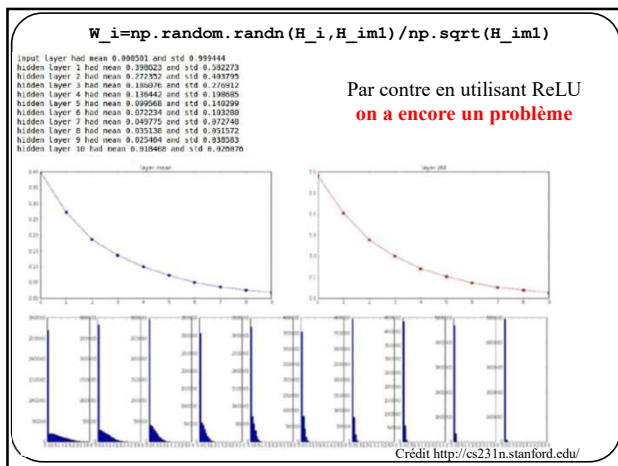
110



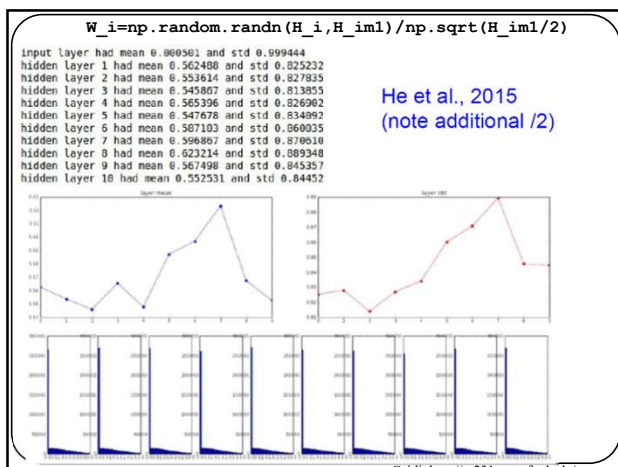
111



112



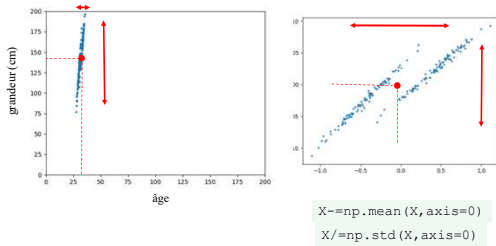
113



114

Prétraitement des données

Centrer et normaliser les données d'entrée



115

Les « sanity checks » ou vérifications diligentes

116

Sanity checks

1. Toujours s'assurer qu'une initialisation aléatoire donne une **perte (loss) maximale**

Exemple : pour le cas **10 classes**, une **régularisation à 0** et une **entropie croisée**.

$$E_D(W) = -\frac{1}{N} \sum_{n=1}^N \sum_{k=1}^K t_{kn} \ln y_{W,k}(\tilde{x}_n)$$

Si l'initialisation est aléatoire, alors la probabilité sera en moyenne égale pour chaque classe

$$\begin{aligned} E_D(W) &= -\frac{1}{N} \sum_{n=1}^N \ln \frac{1}{10} \\ &= \ln(10) \\ &\approx 2.30 \end{aligned}$$


117

Sanity checks

1. Toujours s'assurer qu'une initialisation aléatoire donne **une perte (*loss*) maximale**

Exemple : pour le cas **10 classes**, une **régularisation à 0**
et une **entropie croisée**.

```
def init_two_layer_model(input_size, hidden_size, output_size):
    # initialize a model
    model = {}
    model['w1'] = 0.0001 * np.random.randn(input_size, hidden_size)
    model['b1'] = np.zeros(hidden_size)
    model['w2'] = 0.0001 * np.random.randn(hidden_size, output_size)
    model['b2'] = np.zeros(output_size)
    return model
```



The screenshot shows a Jupyter Notebook cell with the following code and output:

```
model = init_two_layer_model(x_train, 50, 10) # input size, hidden size, number of classes
loss, grad = two_layer_net(x_train, model, y_train, 0.0) # disable regularization
print loss
```

The output of the cell is:

```
2.30261216167
```

Annotations on the image explain the code and output:

- A red arrow points from the text "disable regularization" to the value `0.0` in the code.
- A red arrow points from the text "loss ~2.3. 'correct' for 10 classes" to the output value `2.30261216167`.
- A red arrow points from the text "returns the loss and the gradient for all parameters" to the variable `grad` in the code.

A watermark "cs231n.stanford.edu" is visible in the bottom right corner.

118

Sanity checks

2. Et lorsqu'on **augmente la régularisation**, la perte augmente aussi

```
def init_two_layer_model(input_size, hidden_size, output_size):
    # initialize a model
    model = {}
    model['w1'] = 0.0001 * np.random.randn(input_size, hidden_size)
    model['b1'] = np.zeros(hidden_size)
    model['w2'] = 0.0001 * np.random.randn(hidden_size, output_size)
    model['b2'] = np.zeros(output_size)
    return model
```

```
model = init_two_layer_model(32*32*3, 50, 10) # input size, hidden size, number of classes
loss, grad = two_layer_net(X_train, model, y_train, le3l) # crank up regularization
print loss
```

3.06859716482 ← loss went up, good. (sanity check)

Crédit <http://cs231n.stanford.edu>

119

Sanity checks

3. Toujours s'assurer qu'on peut « **over-fitter** » sur un **petit nombre de données**.

Lets try to train now...

Tip: Make sure that you can overfit very small portion of the training data

Very small loss,
train accuracy 1.00,
nice!

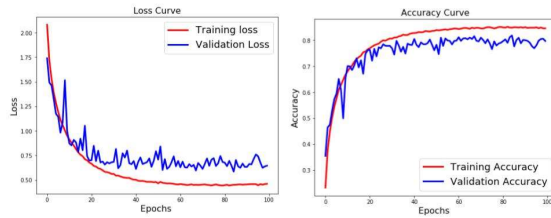
[illegible]

Credit <http://cs231n.stanford.edu>

120

Sanity checks

4. Toujours visualiser les courbes d'apprentissage et de validation

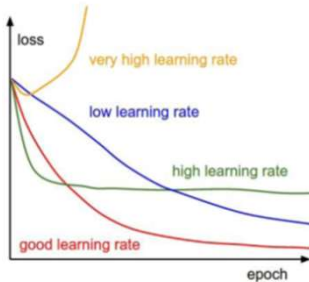


Source: <https://www.learnopencv.com/wp-content/uploads/2017/11/cnn-keras-curves-without-aug.jpg>

121

Sanity checks

4. Toujours visualiser les courbes d'apprentissage et de validation



Credit: <http://cs231n.stanford.edu>

122

Sanity checks

5. Toujours vérifier la validité d'un gradient

Comme on l'a vu, calculer un gradient est sujet à erreur. Il faut donc toujours s'assurer que nos gradients sont bons au fur et à mesure qu'on écrit notre code. En voici la meilleure façon

Rappel

Approximation numérique de la dérivée

$$\frac{df(x)}{dx} = \lim_{h \rightarrow 0} \frac{f(x+h) - f(x)}{h}$$

123

Sanity checks

5. Toujours vérifier la validité d'un gradient

On peut facilement calculer un gradient à l'aide d'une approximation numérique.

Rappel

Approximation numérique du gradient

$$\nabla E(W) \approx \frac{E(W+H) - E(W)}{H}$$

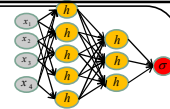
En calculant

$$\frac{\partial E(W)}{\partial w_i} \approx \frac{E(w_i + h) - E(w_i)}{h} \quad \forall i$$

124

Vérification du gradient

(exemple)



W **W+h** **gradient W**

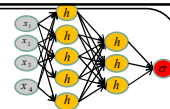
$W_{00} = 0.34$	$W_{00} = 0.34$	$+0.0001$	$-2.5 = (1.25322 - 1.25347) / 0.0001$
$W_{01} = -1.11$	$W_{01} = -1.11$		
$W_{02} = 0.78$	$W_{02} = 0.78$		
...	...		
$W_{20} = -3.1$	$W_{20} = -3.1$		
$W_{21} = -1.5$	$W_{21} = -1.5$		
$W_{22} = 0.33$	$W_{22} = 0.33$		

$E(W) = 1.25347$ $E(W+h) = 1.25322$

125

Vérification du gradient

(exemple)



W **W+h** **gradient W**

$W_{00} = 0.34$	$W_{00} = 0.34$		-2.5
$W_{01} = -1.11$	$W_{01} = -1.11$	$+0.0001$	$0.6 = (1.25353 - 1.25347) / 0.0001$
$W_{02} = 0.78$	$W_{02} = 0.78$		
...	...		
$W_{20} = -3.1$	$W_{20} = -3.1$		
$W_{21} = -1.5$	$W_{21} = -1.5$		
$W_{22} = 0.33$	$W_{22} = 0.33$		

$E(W) = 1.25347$ $E(W+h) = 1.25353$

126

Vérification du gradient

(exemple)

W	W+h	gradient W
$W_{00} = 0.34$	$W_{00} = 0.34$	-2.5
$W_{01} = -1.11$	$W_{01} = -1.11$	0.6
$W_{02} = 0.78$	$W_{02} = 0.78 + 0.0001$	$0.0 = (1.25347 - 1.25347) / 0.0001$
...
$W_{20} = -3.1$	$W_{20} = -3.1$	1.1
$W_{21} = -1.5$	$W_{21} = -1.5$	1.3
$W_{22} = 0.33$	$W_{22} = 0.33$	-2.1

$E(W) = 1.25347$ $E(W+h) = 1.25347$

127

Vérification du gradient

(exemple)

W	W+h	gradient W
$W_{00} = 0.34$	$W_{00} = 0.34$	-2.5
$W_{01} = -1.11$	$W_{01} = -1.11$	0.6
$W_{02} = 0.78$	$W_{02} = 0.78$	0.0
...
$W_{20} = -3.1$	$W_{20} = -3.1$	1.1
$W_{21} = -1.5$	$W_{21} = -1.5$	1.3
$W_{22} = 0.33$	$W_{22} = 0.33$	-2.1

$E(W) = 1.25347$

128

Vérification du gradient

(exemple)

gradient W (numérique)		gradient W (retro-propagation)
-2.5		-2.5
0.6		0.6
0.0		0.0
...		...
1.1		1.1
1.3		1.3
-2.1		-2.1

Vérification réussie

129

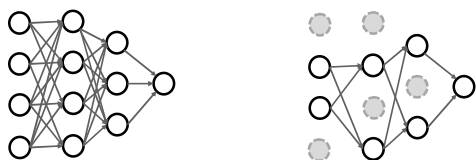
Autre bonne pratique

Dropout

130

Dropout

Forcer à zéro certains neurones de façon aléatoire à chaque itération



Srivastava et al. "Dropout: a simple way to prevent neural networks from overfitting", JMLR 2014

131

Dropout

Idée : s'assurer que chaque neurone apprend pas lui-même en brisant au hasard des chemins.

132

Dropout

```
p = 0.5 # probability of keeping a unit active, higher = less dropout

def train_step(X):
    """ X contains the data """

    # forward pass for example 3-layer neural network
    H1 = np.maximum(0, np.dot(W1, X) + b1)
    U1 = np.random.rand(*H1.shape) < p # first dropout mask
    H1 *= U1 # drop!
    H2 = np.maximum(0, np.dot(W2, H1) + b2)
    U2 = np.random.rand(*H2.shape) < p # second dropout mask
    H2 *= U2 # drop!
    out = np.dot(W3, H2) + b3

    # backward pass: compute gradients... (not shown)
    # perform parameter update... (not shown)
```

Crédit <http://cs231n.stanford.edu/>

133

Dropout

Le problème avec **Dropout** est en **prédiction** (« test time »)

car dropout **ajoute du bruit** à la prédiction

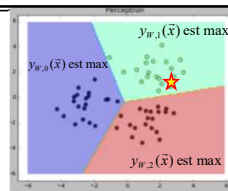
$$pred = y_w(\vec{x}, Z)$$

↑
masque aléatoire

134

dropout **ajoute du bruit** à la prédiction.

Exemple simple : $\vec{x} = \begin{pmatrix} 2.2 \\ 1.3 \end{pmatrix}, t=1$



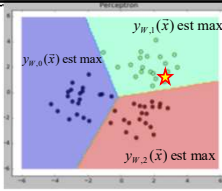
Si on lance le modèle 10 fois, on aura 10 réponses différentes

[0.09378555	0.76511644	0.141098]
[0.13982909	0.62885327	0.23131764]
[0.23658253	0.61960162	0.14381585]
[0.23779425	0.51357115	0.24863461]
[0.16005442	0.68060227	0.1593433]
[0.16303195	0.50583392	0.33113413]
[0.24183069	0.51319834	0.24497097]
[0.14521815	0.52006858	0.33471327]
[0.09952161	0.66276146	0.23771692]
[0.16172851	0.6044877	0.23378379]

135

dropout **ajoute du bruit** à la prédiction.

Exemple simple : $\vec{x} = \begin{pmatrix} 2.2 \\ 1.3 \end{pmatrix}, t=1$



Solution, exécuter le modèle un grand nombre de fois et **prendre la moyenne**.

[0.09378555	0.76511644	0.141098]
[0.13982909	0.62885327	0.23131764]
[0.23658253	0.61960162	0.14381585]
[0.23779425	0.51357115	0.24863461]
[0.16005442	0.68060227	0.1593433]
[0.16303195	0.50583392	0.33113413]
[0.24183069	0.51319834	0.24497097]
[0.14521815	0.52006858	0.33471327]
[0.09952161	0.66276146	0.23771692]
[0.16172851	0.6044877]	0.23378379]
(...)		
[0.15933813,	0.65957005,	0.18109183]

136

Exécuter le modèle un grand nombre de fois et **prendre la moyenne** revient à calculer **l'espérance mathématique**

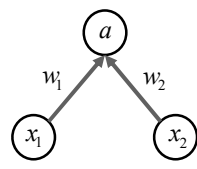
$$pred = E_z [y_w(\vec{x}, \vec{z})] = \sum_i P(\vec{z}) y_w(\vec{x}, \vec{z})$$

Bonne nouvelle, on peut faire plus simple en approximant l'espérance mathématique!

137

Regardons pour un neurone

Avec une probabilité de *dropout* de 50%, en prédiction w_1 et w_2 seront **nuls 1 fois sur 2**



$$E[a] = \frac{1}{4}(w_1x_1 + w_2x_2) + \frac{1}{4}(w_1x_1 + 0x_2) + \frac{1}{4}(0x_1 + w_2x_2) + \frac{1}{4}(0x_1 + 0x_2) = \frac{1}{2}(w_1x_1 + w_2x_2)$$

En prédiction, on a qu'à multiplier par la prob. de *dropout*.

138

```
*** Vanilla Dropout: Not recommended implementation (see notes below) ***

p = 0.5 # probability of keeping a unit active. higher = less dropout

def train_step(X):
    """ X contains the data """

    # forward pass for example 3-layer neural network
    H1 = np.maximum(0, np.dot(W1, X) + b1)
    U1 = np.random.rand(*H1.shape) < p # first dropout mask
    H1 *= U1 # drop!
    H2 = np.maximum(0, np.dot(W2, H1) + b2)
    U2 = np.random.rand(*H2.shape) < p # second dropout mask
    H2 *= U2 # drop!
    out = np.dot(W3, H2) + b3

    # backward pass: compute gradients... (not shown)
    # perform parameter update... (not shown)

def predict(X):
    # ensemble forward pass
    H1 = np.maximum(0, np.dot(W1, X) + b1) * p # NOTE: scale the activations
    H2 = np.maximum(0, np.dot(W2, H1) + b2) * p # NOTE: scale the activations
    out = np.dot(W3, H2) + b3
```

En prédiction, tous les neurones sont actifs
→ tout ce qu'il faut faire est de **multiplier la sortie de chaque couche par la probabilité de dropout**

Crédit <http://cs231n.stanford.edu/>

139

NOTE

Au tp2, vous implanterez un **dropout inverse**. À vous de le découvrir!

140

Descente de gradient
version améliorée

141

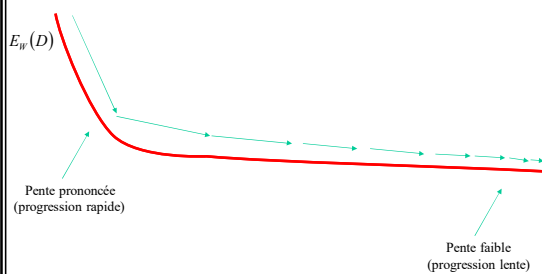
Descente de gradient

$$W^{[t+1]} = W^{[t]} - \eta \nabla E_{W^{[t]}}(D)$$

142

Descente de gradient : **problème**

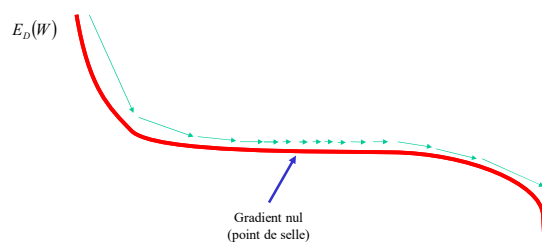
Progrès quasi nul lorsque la pente est très faible



143

Descente de gradient : **problème**

Les points de selles sont fréquents en haute dimension



144

Descente de gradient : **problème**

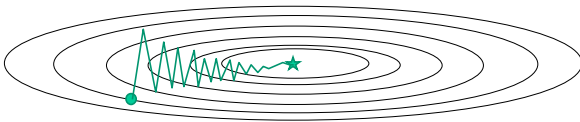
Qu'arrive-t-il si la fonction de coût (loss) a une pente prononcée dans une direction et moins prononcée dans une autre direction?

145

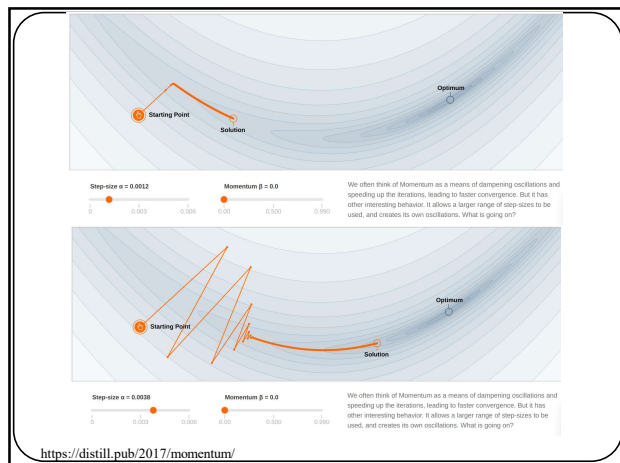
Descente de gradient : **problème**

Qu'arrive-t-il si la fonction de coût (loss) a une pente prononcée dans une direction et moins prononcée dans une autre direction?

Progrès très lent le long de la pente la plus faible et oscillation le long de l'autre direction.



146



147

Descente de gradient + **Momentum**

Descente de gradient
 $E_D(W)$ stochastique

$$w_{t+1} = w_t - \eta \nabla E_{\tilde{x}_n}(w_t)$$

Descente de gradient
stochastique + **Momentum**

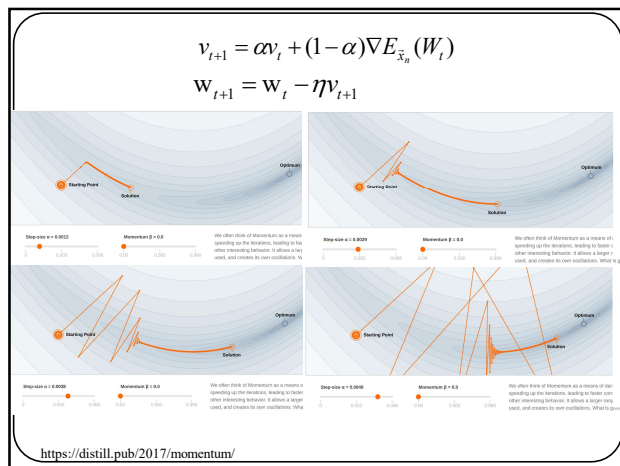
$$v_{t+1} = \alpha v_t + (1 - \alpha) \nabla E_{\tilde{x}_n}(w_t)$$

$$w_{t+1} = w_t - \eta v_{t+1}$$

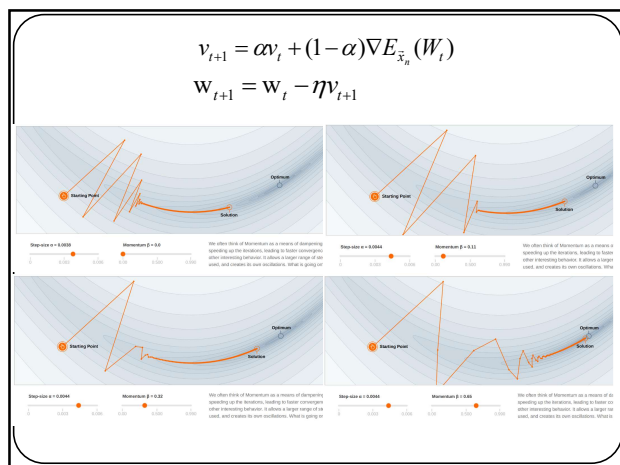
Provient de l'équation de la vitesse

ρ exprime la « friction », en général $\in [0.5, 1[$

148



149



150

AdaGrad (décroissance automatique de η)

Descente de gradient
stochastique

AdaGrad

$$\begin{aligned} \mathbf{w}_{t+1} &= \mathbf{w}_t - \eta \nabla E_{\tilde{x}_n}(\mathbf{w}_t) \\ dE_t &= \nabla E_{\tilde{x}_n}(\mathbf{w}_t) \\ m_{t+1} &= m_t + |dE_t| \\ \mathbf{w}_{t+1} &= \mathbf{w}_t - \frac{\eta}{m_{t+1} + \varepsilon} dE_t \end{aligned}$$

151

AdaGrad (décroissance automatique de η)

Descente de gradient
stochastique

AdaGrad

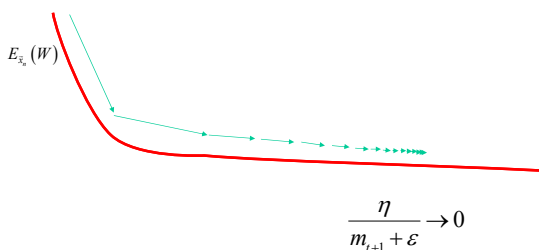
$$\begin{aligned} \mathbf{w}_{t+1} &= \mathbf{w}_t - \eta \nabla E_{\tilde{x}_n}(\mathbf{w}_t) \\ dE_t &= \nabla E_{\tilde{x}_n}(\mathbf{w}_t) \\ m_{t+1} &= m_t + |dE_t| \\ \mathbf{w}_{t+1} &= \mathbf{w}_t - \frac{\eta}{\underbrace{m_{t+1} + \varepsilon}} dE_t \end{aligned}$$

η décroît sans cesse au fur
et à mesure de l'optimisation

152

AdaGrad (décroissance automatique de η)

Qu'arrive-t-il à long terme?



153

RMSProp (AdaGrad amélioré)

AdaGrad

$$dE_t = \nabla E_{\tilde{x}_n}(\mathbf{w}_t)$$

$$m_{t+1} = m_t + |dE_t|$$

$$\mathbf{w}_{t+1} = \mathbf{w}_t - \frac{\eta}{m_{t+1} + \varepsilon} dE_t$$

RMSProp

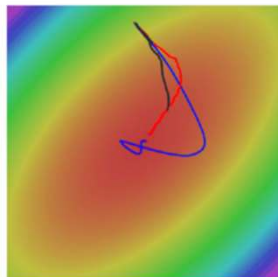
$$dE_t = \nabla E_{\tilde{x}_n}(\mathbf{w}_t)$$

$$m_{t+1} = \gamma m_t + (1 - \gamma) |dE_t|$$

$$\mathbf{w}_{t+1} = \mathbf{w}_t - \frac{\eta}{m_{t+1} + \varepsilon} dE_t$$

η décroît lorsque le gradient est élevé
 η augmente lorsque le gradient est faible

154



— SGD
— SGD+Momentum
— RMSProp

155

Adam (Combo entre Momentum et RMSProp)

Momentum

$$v_{t+1} = \rho v_t + \nabla E_{\tilde{x}_n}(\mathbf{w}_t)$$

$$\mathbf{w}_{t+1} = \mathbf{w}_t - \eta v_{t+1}$$

Adam

$$dE_t = \nabla E_{\tilde{x}_n}(\mathbf{w}_t)$$

$$v_{t+1} = \alpha v_t + (1 - \alpha) dE_t$$

$$m_{t+1} = \gamma m_t + (1 - \gamma) |dE_t|$$

$$\mathbf{w}_{t+1} = \mathbf{w}_t - \frac{\eta}{m_{t+1} + \varepsilon} v_{t+1}$$

156

Adam (Combo entre Momentum et RMSProp)

Momentum

$$v_{t+1} = \rho v_t + \nabla E_{\tilde{x}_n}(w_t)$$

$$w_{t+1} = w_t - \eta v_{t+1}$$

Adam

$$dE_t = \nabla E_{\tilde{x}_n}(w_t)$$

$$v_{t+1} = \alpha v_t + (1 - \alpha) dE_t$$

$$m_{t+1} = \gamma m_t + (1 - \gamma) |dE_t|$$

$$w_{t+1} = w_t - \frac{\eta}{m_{t+1} + \epsilon} v_{t+1}$$

Momentum

157

Adam (Combo entre Momentum et RMSProp)

RMSProp

$$dE_t = \nabla E_{\tilde{x}_n}(w_t)$$

$$m_{t+1} = \gamma m_t + (1 - \gamma) |dE_t|$$

$$w_{t+1} = w_t - \frac{\eta}{m_{t+1} + \epsilon} dE_t$$

Adam

$$dE_t = \nabla E_{\tilde{x}_n}(w_t)$$

$$v_{t+1} = \alpha v_t + (1 - \alpha) dE_t$$

$$m_{t+1} = \gamma m_t + (1 - \gamma) |dE_t|$$

$$w_{t+1} = w_t - \frac{\eta}{m_{t+1} + \epsilon} v_{t+1}$$

RMSProp

158

Adam (Version complète)

$$v_{t=0} = 0$$

$$m_{t=0} = 0$$

for t=1 à num_iterations
for n=0 à N

$$dE_t = \nabla E_{\tilde{x}_n}(w_t)$$

$$v_{t+1} = \alpha v_t + (1 - \alpha) dE_t$$

$$m_{t+1} = \gamma m_t + (1 - \gamma) |dE_t|$$

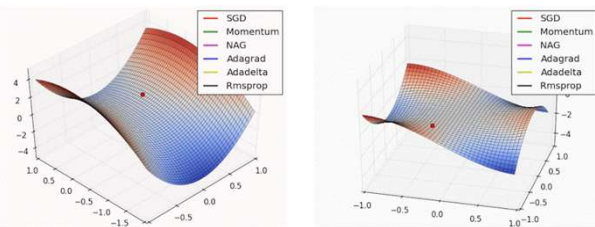
$$v_{t+1} = \frac{v_{t+1}}{1 - \beta_1^t}, m_{t+1} = \frac{m_{t+1}}{1 - \beta_2^t}$$

$$\beta_1 = 0.9, \beta_2 = 0.99$$

$$w_{t+1} = w_t - \frac{\eta}{m_{t+1} + \epsilon} v_{t+1}$$

159

Illustrations



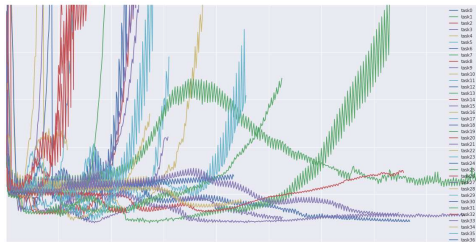
À voir sur :

www.denizyuret.com/2015/03/alec-radfords-animations-for.html

160

Autre excellent survol

<http://ruder.io/optimizing-gradient-descent/>



161